



زمین‌شناسی، دگرسانی، کانه‌زایی، پتروژن، سن‌سنگی، ژئوشیمی و ژئوفیزیک هوابرد منطقه اکتشافی کوهشاه، جنوب‌غرب بیرجند

مریم عبدی^{*}، محمدحسن کریمپور

گروه زمین‌شناسی، دانشگاه فردوسی مشهد، صندوق پستی ۱۴۳۶-۹۱۷۷۵

دریافت مقاله: ۱۳۹۰/۱۰/۱۷، پذیرش: ۱۳۹۱/۲/۲۳

چکیده

منطقه اکتشافی کوهشاه در کمریند ولکانو-پلوتونیکی ترشیری بلوك لوت واقع شده است. بیش از ۱۷ توده نفوذی اسیدی تا حدود است با ترکیب دیوریت تا سینیت در منطقه شناسایی شده است. زون‌های دگرسانی هیدروترمالی مرتبط با توده‌های نفوذی شامل آرژیلیک، پروپیلیتیک، آرژیلیک پیشرفت، سیلیسی، کوارتز-سریسیت-پیریت، گوسان و برش هیدروترمالی است که اغلب با یکدیگر تداخل کرده و این امر به همراه هوازدگی شدید، سبب پیچیدگی تفکیک زون‌های دگرسانی شده است. کانی‌سازی به شکل سولفیدی (پیریت و به مقدار کمتر کالکوبیریت) و اکسیدهای آهن دانه‌پراکنده و رگه‌چههای استوکورک کوارتز-اکسیدآهن مشاهده می‌شود. توده‌های منطقه، متا‌لومینتوس، کالک‌آلکالن، شوشوئیتی و دارای پذیرفتاری مغناطیسی بالا هستند. توده‌های نفوذی منطقه در طبقه توده‌های اکسیدان، سری مگنتیت تیپ I طبقه‌بندی می‌شوند. سن این توده‌های گرانیت‌وئیدی، بر مبنای سن‌سنگی U-Pb بر روی کانی زیرکن، 7 ± 7 میلیون سال (ائوسن میانی) است. داده‌های رادیوایزوتوپ (نسبت‌های $^{143}\text{Nd}/^{144}\text{Nd}$ و $^{87}\text{Sr}/^{86}\text{Sr}$ اولیه و ϵ_{Nd}) و داده‌های ژئوشیمیایی پیشنهاد می‌کند که توده گرانیت‌وئیدی کوهشاه از گوشته تهی شده، در کمان ماگمایی مرتبط با زون فرورانش منشأ گرفته است. آنومالی ژئوشیمیایی عنصر Mn , Ba , Te , Se , Cu , Au , Fe , Pb , Zn , As , Sb , Mo , Bi , Hg و نیز Cu , Au , Fe , Pb , Zn , As , Sb , Mo , Bi , Hg منطبق بر زون‌های دگرسانی کوارتز-سریسیت-پیریت، گوسان-استوکورک-برش هیدروترمالی، توده‌های سیلیسی بی‌قاعده و آرژیلیک پیشرفت هستند. آنومالی‌های ژئوفیزیکی، منطبق بر زون‌های دگرسانی هیدروترمالی و کانی‌سازی است که نتایج و تفاسیر آنها الگویی پیچیده از مناطقی نیمه‌دور تا بیضوی در جهت شمال‌شرق-جنوب‌غرب را مشخص می‌سازد. این شواهد، مشابه با مناطق دیگر شناسایی شده سیستم مس-طلاء پورفیری و ابی‌ترمال طلا در ایران و جهان است.

واژه‌های کلیدی: پورفیری مس-طلاء، ایوسن میانی، لوت، کوهشاه، ایران.

ناحیه کانه‌زایی‌های متعددی گزارش شده است، که از مهمترین آنها می‌توان به کانسار مس-طلاء پورفیری ماهرآباد در غرب و خوپیک در جنوب‌غرب منطقه مورد مطالعه اشاره کرد [۴]. در نقشه‌های زمین‌شناسی پیشین (مقیاس ۱:۲۵۰۰۰ و ۱:۱۰۰۰۰)، توده‌های نفوذی در منطقه مشخص نشده است و بخش‌هایی از زون‌های آلتراسیونی، توف مارنی تصور شده‌اند، اما بررسیهای انجام شده در راستای تهیه نقشه زمین‌شناسی ۱:۲۵۰۰۰ شیخ‌آباد مشخص کرد که منطقه کوهشاه از نظر زمین‌شناسی و لیتوژئیکی شامل واحدهای سنگی رسوبی-آواری، سنگهای ولکانیکی حدود است و فعالیتهای ماگمایی از نوع توده‌های نفوذی و نیمه‌عمیق متعدد

مقدمه

منطقه کوهشاه در جنوب‌غرب شهر بیرجند، در برگهای زمین‌شناسی ۱:۲۵۰۰۰ بیرجند [۱] و ۱:۱۰۰۰۰ شیخ‌آباد [۲] و در چهارگوش ۱:۲۵۰۰ شیخ‌آباد قرار می‌گیرد. بر اساس آخرین تقسیمات ساختمانی-رسوبی ایران [۳] منطقه کوهشاه در شرق خرد قاره ایران مرکزی و در شرق مرکز بلوك لوت و در نزدیکی محل اتصال این بلوك با حوضه فلیشی نهبندان-خاش یا زمین‌درز سیستان واقع است. منطقه شیخ‌آباد در حاشیه جنوبی زون افیولیتی کمانی شکل جنوب‌غرب بیرجند قرار دارد که شامل گسترهای از سنگهای ولکانیکی، به همراه توده‌های نفوذی نیمه‌عمیق است. در این

- ۹) جداسازی کانی زیرکان از دو نمونه از توده‌های اسیدی و حدواسط منطقه برای تعیین سن و ارسال به مرکز Laser Chron آریزونا در دانشگاه آریزونا و انجام آنالیز به روش Laser-Ablation multi collector ICP-MS
- ۱۰) تجزیه ایزوتوپ‌های رادیوزیک Sm-Nd و Rb-Sr دو نمونه فوق، توسط دستگاه 6-collector Finnigan MAT Thermal Ionization Mass Spectrometer 261 در دانشگاه کلرادوی آمریکا.
- ۱۱) بررسی نتایج مطالعات ژئوشیمیایی قبلی بر روی اکتشافات ژئوشیمیایی ناحیه‌ای در گستره برگه ۱:۱۰۰,۰۰۰ مختاران و اکتشافات نیمه تفصیلی در گستره برگه ۱:۲۵۰۰ شیخ‌آباد و پردازش مجدد داده‌های خام به روش آنالیز فاکتوری در گستره منطقه مورد مطالعه.
- ۱۲) برداشت، آماده‌سازی و تجزیه نمونه‌های ژئوشیمیایی به تفکیک ۵۰ نمونه سنگی (برداشت به روش خرد سنگی) و ۲۰ نمونه رسوب آبراهه‌ای، به روش ICP-MS با حلal تیزاب سلطانی (Aqua Regia) برای ۳۷ عنصر در آزمایشگاه ACME کانادا.
- ۱۳) برداشت ۶ نمونه کانی سنگین و آماده‌سازی، بررسی و مطالعه آنها در آزمایشگاه کانی سنگین سازمان زمین‌شناسی کشور.
- ۱۴) گردآوری داده‌های ژئوفیزیک هوابرد منطقه (مغناطیس‌سنگی، الکترومغناطیس و رادیومتری با ارتفاع پرواز Drape بین ۵۰ تا ۸۰ متر از سطح زمین که به صورت Tie Line ها ۳۰۰۰ متر و در راستای ۱۵ درجه نسبت به شمال بوده است و ترسیم نقشه‌های شدت کل میدان مغناطیسی، برگدان به قطب، مشتق قائم اول، ادامه فراسو K-U-Th (d)، نسبت Th/K و مقاومت‌سنگی در نرم‌افزار Geosoft.

زمین‌شناسی

بر اساس نقشه‌های زمین‌شناسی ۱:۲۵۰۰۰۰ [۱] و ۱:۱۰۰۰۰۰ [۲] مختاران این منطقه مجموعه‌ای از سنگهای ولکانیکی، آذرآواری و توف مارنی است. با تأکید بر روی محدوده اصلی آلتراسیون-کانی‌سازی کوهشاه و بهمنظور

است. در مطالعات ژئوشیمیایی قبلی منطقه عمده بررسیهای اکتشافی قبلی در منطقه محدود به روش ژئوشیمی رسوبات آبراهه‌ای (نمونه‌های سیلت) بوده است که در این پژوهش با توسعه نمونه‌های سنگی این نقص برطرف شده است. هدف از این پژوهش تکمیل مطالعات قبلی و تولید داده‌های زمین‌شناسی، آلتراسیون، کانه‌زایی، پترولوزی، سن‌سنگی و ژئوشیمی دقیق در مقیاس مناسب و نیز تفسیر داده‌های ژئوفیزیک هوابرد با مجموعه داده‌های تولید شده و تحلیل سیستم کانه‌زایی در منطقه است.

روش مطالعه

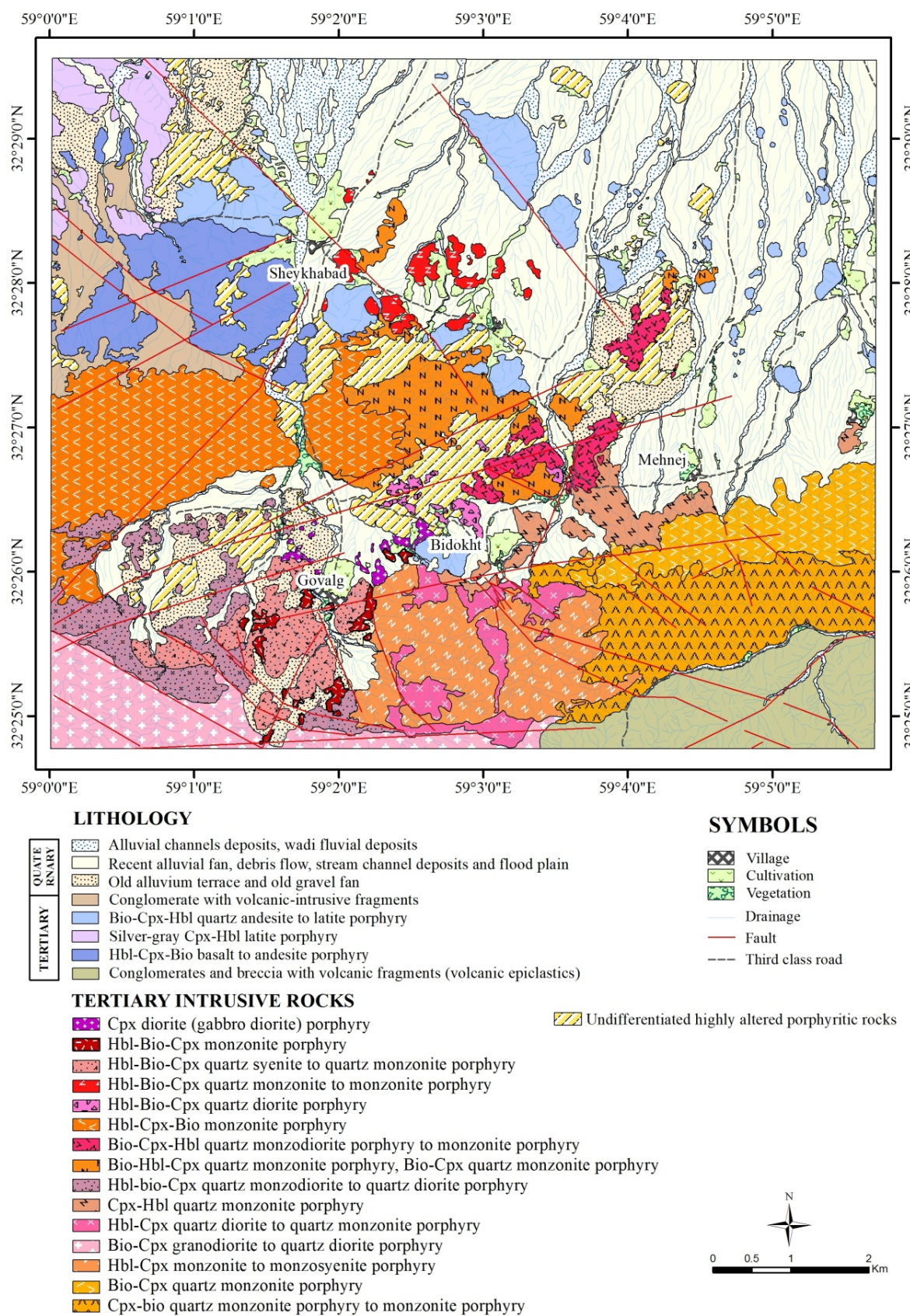
- فعالیتهای صورت گرفته بر مبنای مشاهدات صحرایی، مطالعات آزمایشگاهی و تجزیه نمونه‌های شامل:
- (۱) پردازش داده‌های ماهواره‌ای Aster به روش SAM به منظور شناسایی و تفکیک کانیهای شاخص زون‌های آلتراسیون
 - (۲) برداشت، تهیه و مطالعه بیش از ۱۴۶ مقطع نازک به منظور مطالعات پتروگرافی و آلتراسیون و ۴۴ مقطع نازک. صیقلی برای مطالعات کانه‌زایی-آلتراسیون.
 - (۳) تهیه نقشه‌های زمین‌شناسی، آلتراسیون و کانه‌زایی در مقیاس ۱:۲۵۰۰۰ در منطقه‌ای به وسعت ۱۷۲ کیلومتر مربع در برگه شیخ‌آباد.
 - (۴) اندازه‌گیری پذیرفتاری مغناطیسی برای واحدهای سنگی منطقه.
 - (۵) تهیه نقشه‌های زمین‌شناسی، آلتراسیون و کانه‌زایی با مقیاس ۱:۱۰۰۰۰ در وسعت ۸۱ کیلومتر مربع با تأکید ویژه بر شناسایی محدوده اصلی آلتراسیون-کانی‌سازی کوهشاه.
 - (۶) برداشت ساختارهای منطقه و تهیه نقشه گسلها و نقشه تراکم رگه‌چه در مقیاس ۱:۱۰۰۰۰.
 - (۷) آنالیز عناصر اصلی توسط دستگاه XRF دانشگاه فردوسی مشهد، برای ۲۸ نمونه از توده‌های اسیدی و حدواسط منطقه با کمترین اثر آلتراسیون‌های تأخیری.
 - (۸) از نمونه‌های فوق، تعداد ۲۰ نمونه، به منظور آنالیز عناصر کمیاب و نادر خاکی به آزمایشگاه ACME کانادا ارسال شد و به روش ICP-MS با حلal لیتیوم متابرات/تترابرات و اسید نیتریک مورد تجزیه قرار گرفت.

آلتراسیون

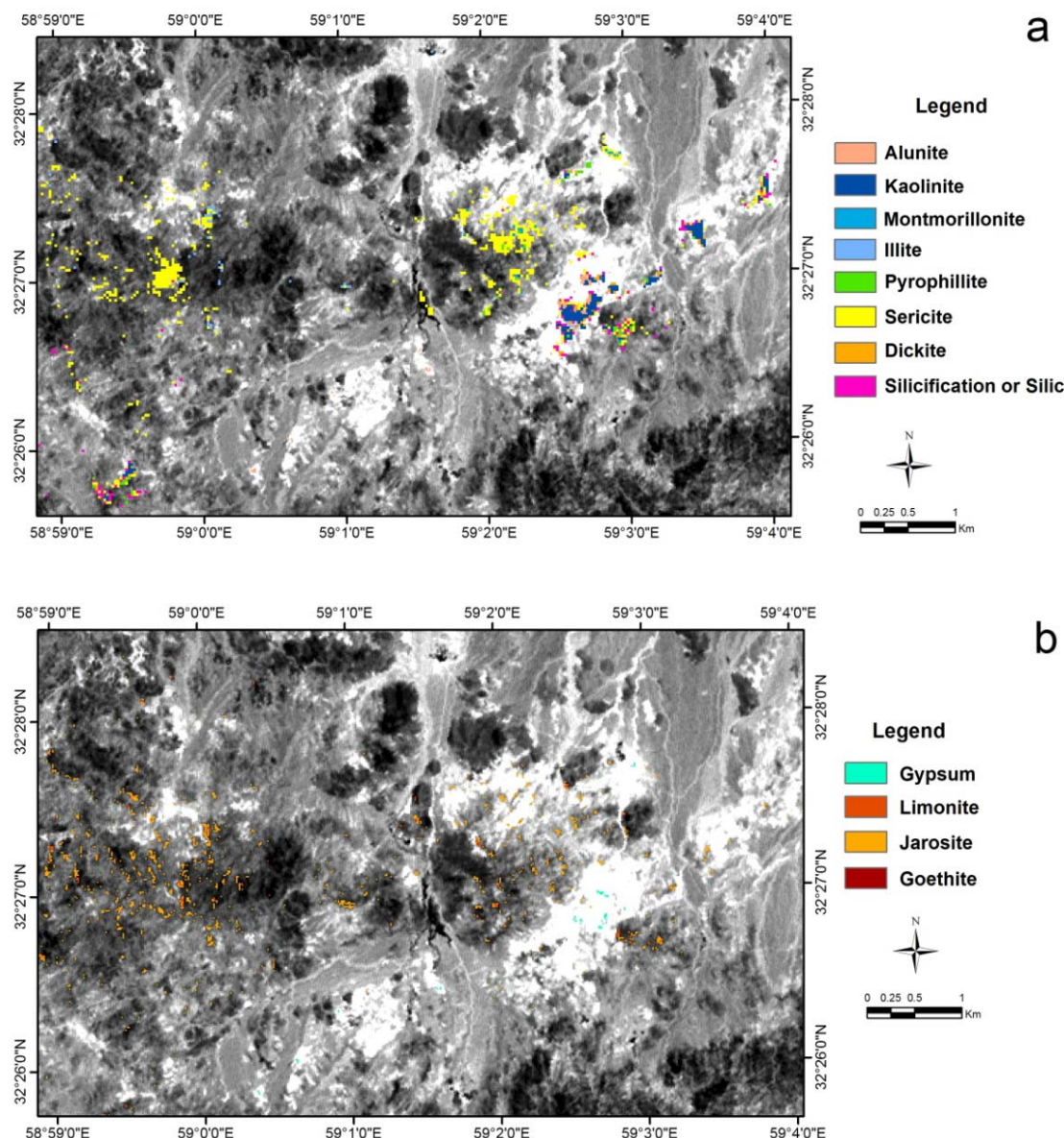
بررسی آلتراسیون در منطقه شامل دو بخش بوده که در بخش اول، مطالعات دورسنجی برای شناسایی زون‌های آلتراسیونی، پیش از کار صحرایی صورت گرفته و در بخش بعدی مطالعات صحرایی و میکروسکوپی صورت گرفته است. مطالعات صحرایی، بکارگیری داده‌های ماهواره‌ای برای شناسایی دورسنجی، زون‌های آلتراسیونی و گستره استفاده از این روش در اکتشاف کانسارهای مختلفی از جمله پورفیری و اپیترمال، نشانه‌ای از موثر واقع شدن آن، در این امر می‌باشد [۵]. بررسیهای دورسنجی در این منطقه به کمک داده‌های ماهواره ASTER، SAM انجام گرفت. برای پردازش این تصاویر از روش تفکیک Spectral Angle Mapper (Spectral Angle Mapper)، استفاده شده است. کانیهای شناسایی شده از نتایج این بررسی شامل: سیلیس، سرسیت، آلونیت، کائولینیت، مونتموریونیت، ایلیت، پیروفیلیت، دیکیت، لیمونیت، ژاروسیت، گوتیت، اپیدوت، کلریت و زوئیت و ژیپس است. شدت و گستره پراکندگی این کانیهای منجر به شناسایی و تفکیک آلتراسیون‌های مختلف شده است (شکل ۲ a و b). کانیهای اپیدوت، کلریت و زوئیت که مشخصه آلتراسیون پروپلیتیک هستند، در این پردازش، شناسایی نشدن. علت این امر مطابق داده‌های صحرایی و مطالعات پتروگرافی آلتراسیون، تداخل آلتراسیون آرژیلیک اولیه و همچنین هوازدگی شدید بر روی آلتراسیون پروپلیتیک است که به نمایش این آلتراسیون به شکل زون‌های کلریتی- آرژیلی- کلسیت (به ندرت اپیدوت- زوئیت) منجر شده است. مطالعات صحرایی و آزمایشگاهی مشخص ساخت که واحدهای ولکانیکی شمال- شمال‌غرب منطقه و برخی توده‌های ساب ولکانیک موجود در این محدوده، تحت تأثیر فرآیند آلتراسیون هیدروترمالی قرار گرفته و دگرسان شده‌اند. از جمله دگرسانیهای منطقه می‌توان به دگرسانیهای زیر اشاره نمود (شکل ۳).

پروپلیتیک: آلتراسیون پروپلیتیک بر حسب شدت و نوع کانیهای دگرسانی خود به دو بخش شدید و متوسط تقسیم می‌شود. آلتراسیون پروپلیتیک شدید در بخش‌های میانی و غربی منطقه با عرضی در حدود ۱/۵ کیلومتر، گستره بالایی دارد و متشکل از کانیهای کلریت، کلسیت، اپیدوت، کلینوزوئیت و رگه‌چههای اپیدوت که در زمینه و فنوکریست‌های مافیک و بخشی از بلورهای فلدوپات مشاهده می‌شود.

تفکیک بیشتر توده‌های نفوذی منطقه، نقشه زمین‌شناسی در مقیاس ۱:۱۰۰۰۰ تهیه شد (شکل ۱). واحدهای سنگی منطقه به چهار گروه قابل تقسیم‌بندی هستند: ۱) سنگهای رسوبی- آواری با سن قبل از ائوسن میانی، ۲) واحدهای ولکانیکی حدوداً با قطعات ولکانیکی- نفوذی، این واحدها را کنگلومرات کرمزنگ با رسوبات ولکانیکی- نفوذی، این واحدها را می‌پوشاند ۳) توده‌های نیمه‌عمیق حدوداً با سن ائوسن میانی که بر اساس مشخصات صحرایی و میکروسکوپی (ترکیب سنگی، فراوانی و نوع فنوکریست‌ها، زمینه، نوع و میزان کانیهای مافیک و غیره) و نفوذ در یکدیگر، به بیش از ۱۷ توده مختلف قابل تفکیک هستند، ۴) تراس‌های آبرفتی متعدد، رسوبات مخروط افکنه‌ای، دشت سیلانی و رسوبات رودخانه‌ای عهد حاضر (شکل ۱). توده‌های نیمه‌عمیق منطقه کوهشاه طیف سنگی بین دیوریت تا مونزونیت و گاه سینیت دارند که بافت اغلب آنها پورفیری با زمینه ریز تا متوسط دانه است و گاه بافت گرانولار دارند. این توده‌ها به شکل استوک‌های بزرگ و کوچک، آپوفیز و دایک در یکدیگر نفوذ کرده‌اند که در ارتباط با کانه‌زایی منطقه، به سه دسته زیر قابل تفکیک هستند: توده‌های نیمه‌عمیق پیش از کانی‌سازی: این توده‌ها در میانه منطقه کوهشاه با گستره شرقی- غربی- گرانولودیوریت، مونزونیت و سینیت دارند که دگرسانی ضعیف تا پروپلیتیک، با توجه به فاصله از مرکز کانی‌سازی نشان می‌دهند. توده‌های نیمه‌عمیق مرتبط با کانی‌سازی: توده‌های نیمه‌عمق واجد کانی‌سازی و فازهای تأخیری کانی‌سازی، در بخش شمال‌غربی و غرب مرکز نقشه در توده‌های پیش از کانی‌سازی و واحدهای ولکانیکی نفوذ کرده‌اند. این توده‌ها طیف سنگی مونزونیت، کوارتز مونزونیت، مونزونودیوریت و دیوریت دارند که بیشتر آنها دگرسانیهای متعدد دارند و مقادیر مختلفی از کانی‌سازی نشان می‌دهند. توده‌های نیمه‌عمیق و دایک‌های پس از کانی‌سازی: این توده‌ها به شکل آپوفیزها و دایک‌هایی در توده‌های واجد کانی‌سازی و توده‌های پیش از کانی‌سازی نفوذ کرده‌اند. توده‌های پس از کانی‌سازی تازه و فاقد دگرسانی هستند.



شکل ۱. نقشه زمین‌شناسی منطقه اکتشافی کوه‌شاه.

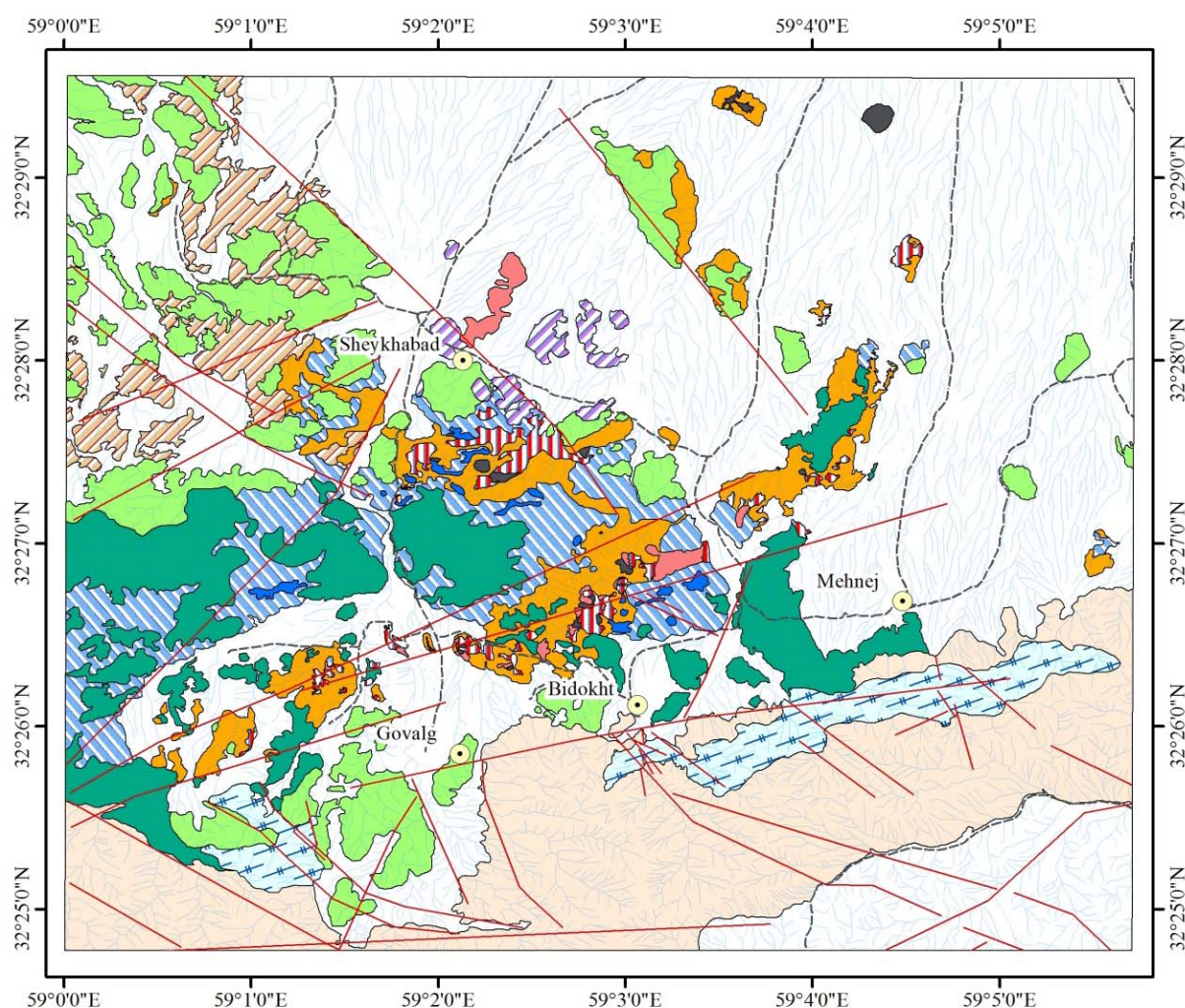


شکل ۲. نتایج اجرای روش SAM برای زون‌های سریسیتیک، آرژیلیک (a) و کانیهای ثانویه(b)، نمایش روی باند ۱.

دیگر کانیهای دگرسانی این زون می‌توان از مقادیر متوسط تا کم سیلیس، سریسیت، سولفید و زون‌های اسیدشوبی نام برد. همچنین رگه‌چه‌های کم عرض لیمونیت، ژاروسیت و سیلیس در این زون مشاهده می‌شود. در بررسی مقاطع نازک این زون در برخی محدوده‌ها، مناطق کانیهای کلریت و اپیدوت با شدت کم مشخص شد که می‌تواند نشانه‌ای از تداخل (overprint) این زون دگرسانی با زون پروپلیتیک باشد. همچنین هوازدگی سوپرژن سبب شدت کانیهای رسی و تشکیل کانیهای لیمونیت و ژیپس شده است.

آلتراسیون پروپلیتیک متوسط در شمال غربی منطقه گسترش فراوانی دارد و در بخش‌های میانه و شمال منطقه نیز مشاهده می‌شود. مجموعه کانیهای دگرسانی این زون به ترتیب شدت شامل: کلسیت، کلریت، آلبیت، کانیهای رسی، به طور محلی سریسیت، پیریت و اکسیدهای آهن است.

آرژیلیک: این زون به علت شدت بالای کانیهای رسی با تحریب بافتی همراه است و گستره وسیعی (به عرض حدود ۴۵۰ متر) از نقاط کم ارتفاع و تپه ماهوری را شامل می‌شود. کانیهای رسی ریز بلور، عمدۀ محصول دگرسانی هستند. از

**ALTERATION**

- Weak Calcite-Fe-oxide veinlets
- Quartz-calcite-limonite sheeted veins
- Hydrothermal intrusion-related breccias pipe
- Quartz sheeted banded veins
- Massive silica veins and sinter
- Irregular silicified bodies
- Silisification-argillic
- Gossan, Stockwork and hydrothermal breccias
- Advanced Argillic
- Argillic
- Strong Propylitic
- Intermediate Propylitic

SYMBOLS

- Village
- Drainage
- Fault
- Third class road



شکل ۳. نقشه آلتراسیون تهیه شده از منطقه مورد مطالعه بر مبنای مطالعات صحرایی و آزمایشگاهی.

رسی به ویژه کائولینیت و بخش‌های سیلیسیتی، سریسیتی، سولفید اکسیده، لیمونیت و ژاروسیت است. در برخی مناطق

آرژیلیک پیشرفت‌هه: زون دگرسانی آرژیلیک پیشرفت‌هه که در بالای دگرسانی آرژیلیک قرار دارد، ارتفاع ساز و شامل کانیهای

برش هیدروترمالی: به طور محدود اما پر اهمیت، برش هیدروترمالی با بافت خرد شده موzaیکی در همراهی با زون‌های گوسان و کوارتز حفره‌دار- آلونیت- ژاسپروئید مشاهده می‌شود. مطالعه این برش‌های هیدروترمالی مشخص ساخت که آنها از نوع ماتریکس غالب (matrix-supported) و شامل قطعات چند منشأی نیمه‌زاویه‌دار سنگهای پورفیری آلترا (سیلیسی، آرژیلیک، کوارتز- کانی رسی- پیریت) در ماتریکس کوارتز (سیلیس دانه‌ریز)- هماتیت- لیمونیت (پیریت) هستند. کوارتز- سرسیت- پیریت (لیمونیت): در بخش‌هایی از دگرسانی آرژیلیک، به طور محدود دگرسانی کوارتز- سرسیت- پیریت (لیمونیت) مشاهده می‌شود (در مقیاس ۱:۱۰۰۰۰ قابل نمایش نیستند) که واجد پیریت‌های اکسیده و یا لیمونیت‌های پراکنده و ریز بلور و سیلیس و سرسیت فرآگیر است که رگه‌چههای ظرفی از کوارتز ریز بلور- سولفید اکسیده آن را قطع می‌نمایند. همچنین اسیدشویی گاه سبب ایجاد حفرات شسته شده با حاشیه سرسیت در زمینه سیلیسی- سرسیتی شده است. از دیگر دگرسانیهای مشاهده شده در این منطقه می‌توان به موارد زیر اشاره کرد:

رگه‌های موازی کوارتز- کلسیت- لیمونیت (پیریت) صفحه‌ای epithermal quartz-calcite-limonite sheeted veins: این رگه‌ها در توده‌های نیمه‌عمیق و ولکانیک‌های با دگرسانی پروپلیتیک با شدت متوسط در زون‌هایی به عرض ۰/۵ تا ۱۵ متر، با تناوبی از کوارتز شیری- خاکستری- کلسدونی± اپال (±آدولاریا؟) به‌شکل نواری و گاه کلوفورم (با عرض کمتر از ۱ تا بیش از ۴۰ سانتی متر و در حدود ۱ تا بیش از ۲۰ عدد در متر) مشاهده می‌شود.

تنوره‌های برشی هیدروترمالی نفوذی (intrusion-related breccias pipe): تنوره‌های برشی در امتداد گسلهای اصلی مورب‌لغز (معکوس و امتدادلغز چپبر) منطقه با روند N80, ۹۰، به‌طول چند ۱۰ تا چند ۱۰۰ متر و در عرض $>1\text{cm-}3\text{m}$ و متوسط ۱۰ سانتی‌متر، با فواصل متعدد از کمتر از ۱ عدد در یک متر با عرض زیاد و تا ۸۰ عدد در ۱ متر با عرض کم، گسترش دارند و به صورت زون‌های خطی و موازی، توده‌های پیش از کانی‌سازی را قطع می‌نمایند.

زون‌های باریکی از کاتولینیت نسبتاً خالص وجود دارد. رگه‌چههای استوکورک از لیمونیت، ژاروسیت و سیلیس در این زون مشاهده می‌شود.

گوسان: در مرتفع‌ترین بخش زون آرژیلیک پیشرفت، زون‌های قرمز تیره تا قهوه‌ای رنگ به‌همراه دو نوع رگه‌چه استوکورک کوارتری به همراه پاراژنر لیمونیت- ژاروسیت± گوتیت مشاهده می‌شود که موجب تشکیل کلاهک‌های گوسان شده است.

سیلیسی: سیلیسی شدن بر حسب شدت به چند حالت مشاهده می‌شود که شامل: توده‌های سیلیسی بی‌قاعده (irregular silicified bodies)، سینترهای سیلیسی (massive silica vein) و رگه‌های سیلیس توده‌ای (sinter and humicin) زون‌های محدود کوارتز حفره‌دار- آلونیت- ژاسپروئید است. توده‌های سیلیسی بی‌قاعده به صورت زون‌ها و کپهای شدیداً سیلیسی کربپتوکریستالین تا دانه‌ریز خاکستری تیره یا سیاه (و گاه حفره‌دار) در سطح رخمنون، با مقادیر مختلفی سولفید دانه‌ریز پراکنده و رگه‌های سولفیدی با عرض کم، که گاه ظاهری الوان (پرطاووسی) به آنها داده است، زون‌های باقی مانده ۱۰ تا ۵۰ متری پراکنده در میان زون‌های آلتراسیون آرژیلیک پیشرفت و آرژیلیک، مشاهده می‌شود. سیلیس دانه‌ریز سفید. خاکستری روشن به صورت سینترهای سیلیسی (با شبکه‌های تغذیه کننده) و رگه‌های توده‌ای با دو روند شمال‌شرقی- جنوب‌غربی (N80, N90) و شمال‌غربی- جنوب‌شرقی (N300, N90)، هم روند با گسلهای اصلی امتدادلغز چپبر و راستبر منطقه، در مرکز و غرب منطقه گسترش دارد که حاوی سولفیدهای ریز دانه پراکنده و رگه‌چهای و درزهای لیمونیت- ژاروسیت- گوتیت است و با توپوگرافی برجسته و مقادیری برش گسلی و دگرسانی رسی- سیلیسی در حاشیه، مشخص می‌شود. سیلیس دانه‌ریز شیری با حفرات بسیار کوچک (vuggy quartz) به همراه رگه‌ها و باندهای آلونیت صورتی رنگ و ژاسپروئید به صورت محدود در برخی مناطق در مجاورت زون آرژیلیک پیشرفت مشاهده می‌شود. همچنین رگه‌های صفحه‌ای نواری (sheeted banded) کوارتز خاکستری- شیری با بافت شانه‌ای (comb)، در توده هورنبلند- بیوتیت- کلینوپیروکسن کوارتز مونزونیت پورفیری مشاهده می‌شود.

حاوی حدود ۰/۲ درصد پیریت پراکنده هستند. به دلیل شدت زیاد اکسیداسیون در منطقه، عمدۀ کانی‌سازی سولفیدی به اکسیدهای آهن ثانویه از جمله: گوتیت، هماتیت، لیمونیت و ژاروسبیت اکسیده شده است و آثار کانی‌سازی مس به ندرت مشاهده می‌شود. به همین منظور در نقشه کانی‌سازی شکل (۴)، توزیع اکسیدآهن در سطح که میزان آن در زون‌های آلتره بین ۰ تا ۸ درصد متغیر است، به عنوان معرف برای پی‌جويی کانی‌سازی سولفیدی آورده شده است. بيشترین میزان توزیع اکسیدآهن منطبق بر کلاهکهای گوسان (گاه تا ۱۰ درصد)، در بخش استوکورک لیمونیت- ژاروسبیت و آلتراسیون آرژیلیک پیشرفت (۴ تا ۶ درصد) و آرژیلیک (تا ۴ درصد) است و کمترین میزان آن در زون سیلیسی- آرژیلیک (تا ۲ درصد) مشاهده می‌شود. در بخش گوسان تنها رگه‌چههای کوارتزی به شکل دیواره‌هایی با بافت جعبه‌ای یافت می‌شوند. تنوره‌های برشی هیدروترمال- نفوذی حاوی کانی‌سازی پیریت. لیمونیت \pm مالاکیت \pm کوولیت \pm بورنیت \pm کالکوپیریت در ماتریکس سیلیسی- کلسیت است که نشانه‌های از حضور مس، در منطقه می‌باشد. این برش‌ها حاوی قطعات زاویه‌دار در ابعاد چند میلی متر تا ۳۰ سانتی متر از توده‌های نفوذی، سنگ دیواره و رگه‌چههای کوارتز- سولفید است. پیریت در این بخش به صورت شکل‌دار تا نیمه‌شکل‌دار و به صورت متغیر در ابعاد ۲۰۰ میکرون تا چند میلی متر مشاهده می‌شود. با توجه به این که قسمت عمدۀ ای از کانی‌سازی در بخش اکسیدآهن و بخشی از کانی‌سازی سولفیدی به شکل رگه‌چهای و استوکورک است، توزیع و فراوانی انواع رگه‌چههای موجود در منطقه برداشت و نقشه تراکم رگه‌چههای به تفکیک نوع و پاراژنز کانی‌سازی رگه‌چه تهیه شد (شکل ۵). رگه‌چههای موجود در منطقه در دو گروه قابل بررسی اند:

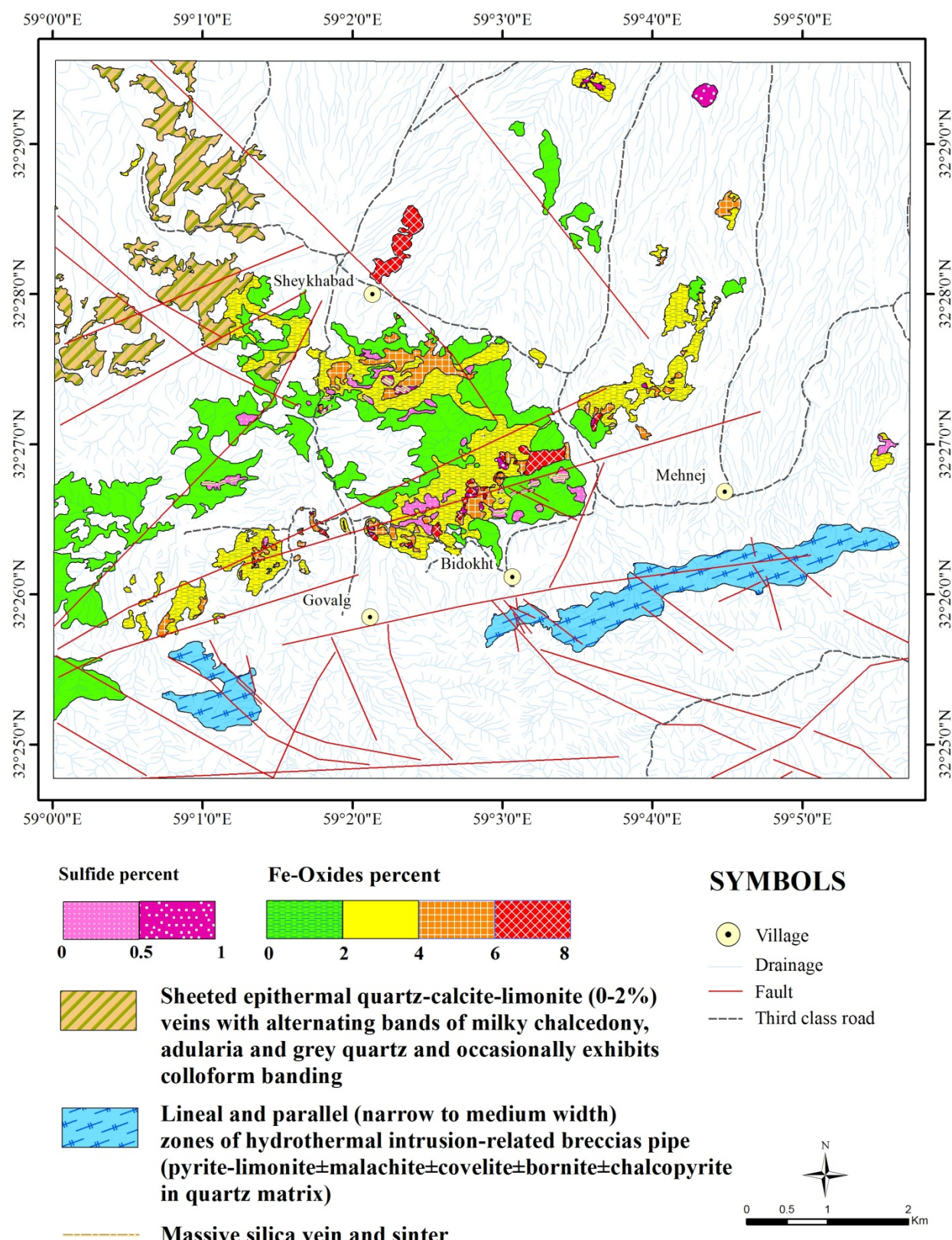
الف) رگه‌چههای استوکورکی کوارتز- لیمونیت- ژاروسبیت با عرض ۲ تا ۱۰ میلی متر که بافت‌های پرکننده فضای خالی، هم رشدی، کلوفورمی و گاه ریتمیک نشان می‌دهند. بر حسب تراکم رگه‌چه، این استوکورک‌ها به ۴ زیر گروه (با تراکم رگه‌چه $>1-5$, $5-15$, $15-30$ و $30-40$ عدد در ۱ متر) طبقه‌بندی می‌شوند. این رگه‌چههای با بالاترین تراکم را در روی سطح رخمنون، به خوبی مشخص هستند و عمدتاً در آلتراسیون‌های گوسان، برش هیدروترمالی، آرژیلیک پیشرفت و با تراکم کمتر در زون آرژیلیک مشاهده می‌شوند.

این زون‌ها حاوی کانی‌سازی سولفیدی در ماتریکس کوارتزی- کلسیت و با قطعات زاویه‌دار از سنگهای پورفیری و سنگ دیواره است.

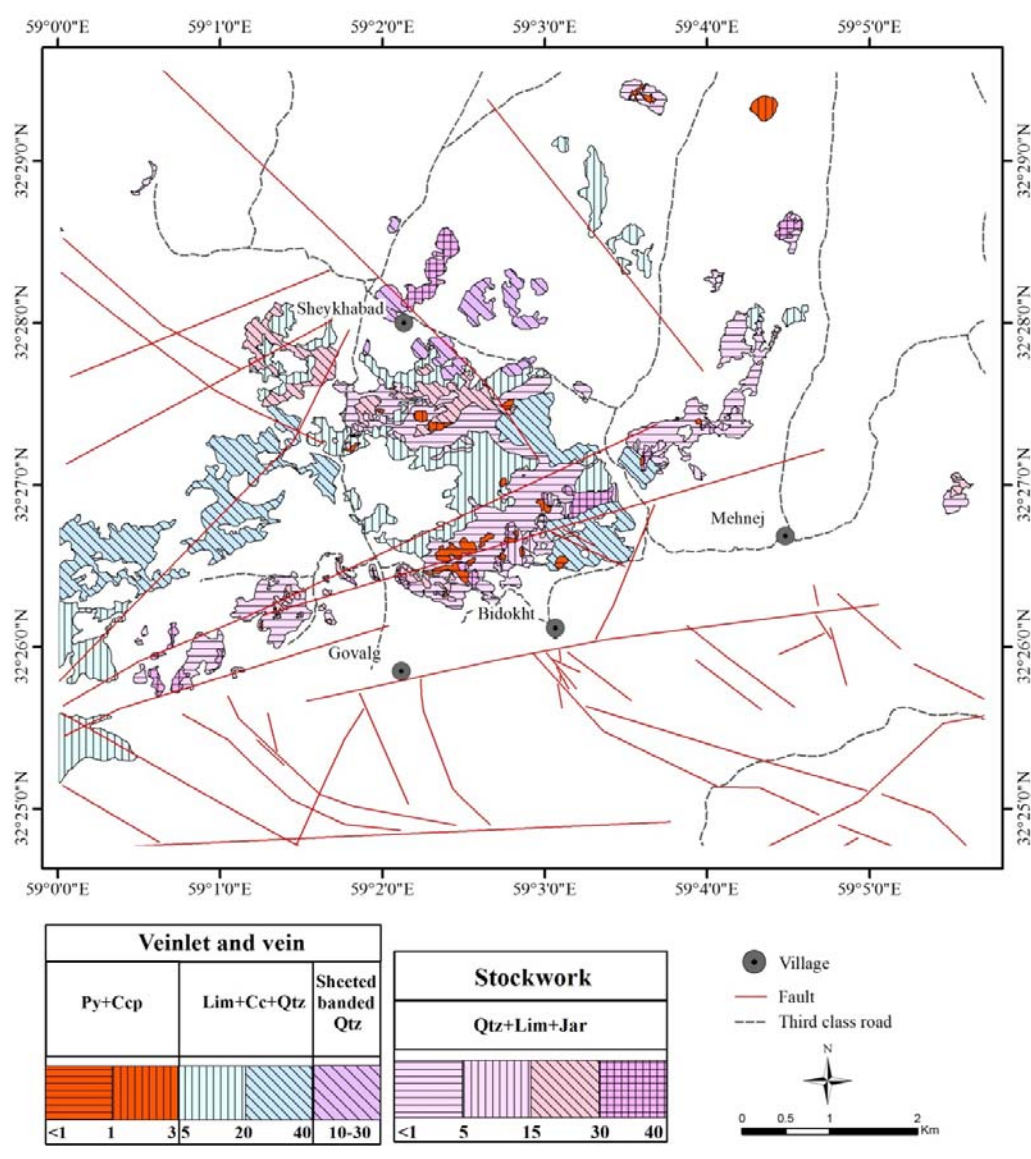
رگه‌چههای تأخیری کلسیت- اکسیدآهن: این رگه‌چههای با تراکم کمتر از ۱ تا ۳ عدد در یک متر و عرض ۱ تا چند میلی متر، عمدۀ سنگها و توده‌های نفوذی منطقه را قطع نموده‌اند. آلتراسیون در این محدوده در ارتباط با توده نفوذی نیمه‌عمق متعدد با نفوذ‌های تلسکوپی در یکدیگر می‌باشد که در این منطقه، گستره زیادی را به خود اختصاص داده‌اند و مسبب تنوع و تداخل زون‌های دگرسانی بر روی یکدیگر هستند. همچنین هوازدگی شدید در این منطقه، زون‌های دگرسانی اولیه را متأثر ساخته و موجب تشدید یا تبدیل دگرسانی به آرژیلیک سوپرژن، شده است. روابط صحرایی و برسیهای آزمایشگاهی نشان می‌دهد که قدیمی‌ترین آلتراسیون و کانه‌زایی در منطقه، زون کوارتز- سرسیت- پیریت (لیمونیت) است. سپس بین دو زون کوارتز- سرسیت- پیریت (لیمونیت) و پروپلیتیک، به ترتیب زون‌های آرژیلیک، سیلیسی- آرژیلیک، آرژیلیک پیشرفت، گوسان، برش هیدروترمالی و سیلیسی تشکیل شده‌اند که مشابه با کلاهک سنگی ارائه شده برای سیستمهای پورفیری شناخته شده است [۶ تا ۸]. دگرسانی رگه‌های موازی کوارتز- کلسیت- لیمونیت (پیریت) صفحه‌های و رگه‌چههای تأخیری کلسیت- اکسیدآهن پس از آن تشکیل شده‌اند. در نهایت تنوره‌های برشی هیدروترمال- نفوذی، توده‌های نفوذی پیش از کانه‌زایی را قطع نموده‌اند.

کانه‌زایی

در این منطقه کانی‌سازی به اشكال سولفیدی، اکسیدهای آهن، رگه‌های موازی کوارتز- کلسیت- لیمونیت (پیریت) صفحه‌های و تنوره‌های برشی هیدروترمال- نفوذی مشاهده می‌شود (شکل ۴). کانی‌سازی سولفیدی اولیه پیریت و مقدار جزئی کالکوپیریت هستند که به شکل دانه‌پراکنده در متن سنگ، در رگه‌چهها و در ماتریکس برش هیدروترمالی تشکیل شده است. سولفیدهای اولیه دانه‌پراکنده به صورت بلورهای کوچک (۱۰۰ میکرون تا ۱ میلی‌متر) تا ۱ درصد، منطبق بر آلتراسیون‌های زون کوارتز- سرسیت- پیریت و توده‌های سیلیسی بی‌قاعده، و تا ۰/۵ درصد منطبق بر رگه‌های سیلیس توده‌ای و گاه پروپلیتیک مشاهده می‌شود (شکل ۴). به علاوه زون‌های آلتراسیون پروپلیتیک، سیلیسی- آرژیلیک و آرژیلیک نیز



شکل ۴. نقشه کانی‌سازی محدوده مطالعاتی کوه‌شاه.



Qtz=Quartz, Lim=Limonite, Jar=Jarosite, Py=Pyrite, Ccp=Chalcopyrite, Cc=Calcite

شکل ۵. نقشه تراکم رگه‌چه در محدوده اکتشافی کوهشاه.

قطع می‌کنند و با رگه‌چه‌های کوارتزی نواری صفحه‌ای حالت هم رشدی تا قدیمی تر دارند. بر حسب تراکم رگه‌چه به دو زیر گروه: ۵-۲۰ و ۲۰-۴۰ عدد در ۱ متر قابل تقسیم هستند و در زون آلتراسیونی سیلیس- آرژیلیک مشاهده می‌شوند و (۳) کوارتز صفحه‌ای نواری خاکستری- شیری با بافت شانه‌ای و به عرض ۲۰/۰ تا ۳ سانتی‌متر و تراکم رگه‌چه ۱۰-۳۰ عدد در ۱ متر، در توده هورنبلند- بیوتیت- کلینوبیروکسن کوارتز مونزونیت پورفیری مشاهده می‌شود. این رگه‌چه بر اساس شواهد صحرایی و مشاهدات میکروسکوپی، جدیدتر از دیگر رگه‌چه‌هاست. رابطه مستقیمی بین افزایش تراکم رگه‌چه‌ها

ب) رگه‌چه و رگه که بر حسب تنوع کانی‌شناسی به سه گروه زیر تقسیم می‌شوند: ۱) پیریت- کالکوپیریت با عرض در حدود ۱ میلی‌متر و با بافت پرکننده فضای خالی، با دو تراکم ۱-۳ عدد و کمتر از ۱ عدد در ۱ متر در زون‌های آلتراسیون توده‌های سیلیسی بی‌قاعده، سینترهای سیلیسی و رگه‌های سیلیس توده‌ای و به طور محدود در زون پروپلیتیک و کوارتز- سرسیت- پیریت (لیمونیت)، ۲) لیمونیت- کلسیت- سیلیس که عرضی در حدود ۱/۰ تا ۳ سانتی‌متر با بافت ریتمیک، هم رشدی، پرکننده فضای خالی و قطع کننده دارند. این رگه‌چه‌ها، رگه‌چه‌های قدیمی‌تر کوارتز- لیمونیت- ژاروسیت را

شد. پس از بررسی نتایج آنالیز عناصر اصلی ۲۰ عدد از این نمونه‌ها به منظور آنالیز عناصر کمیاب و نادر خاکی مورد تجزیه قرار گرفت، نتایج آنالیز در جدول (۱) آمده است. مقدار سیلیس در مقابل مجموع اکسیدهای سدیم و پتاسیم [۹] نشان می‌دهد که توده‌های نفوذی منطقه اغلب در منطقه مونزونیت و برخی در محدوده دیوریت قرار دارند (شکل-۶-a). نمایش مقدار سیلیس در مقابل اکسید پتاسیم [۱۰] نشان می‌دهد نمونه‌ها بیشتر از نوع شوشوونیتی هستند (شکل-۶-b).

استوکورک و افزایش میزان اکسیدآهن وجود دارد (شکل ۴ و ۵).

پترولوجی

ژئوشیمی عناصر اصلی، کمیاب و نادر خاکی
از مجموع ۱۴۶ نمونه برداشت شده از توده‌های اسیدی و حد بواسطه مطالعه پتروگرافی انجام و با توجه به شواهد و روابط صحرایی ۲۸ نمونه با کمترین اثر آلتراسیون‌های تأخیری به منظور آنالیز عناصر اصلی توسط دستگاه XRF انتخاب و آنالیز

جدول ۱. نتایج آنالیز عناصر اصلی، کمیاب و نادر خاکی گرانیت‌وئیدهای محدوده مطالعه.

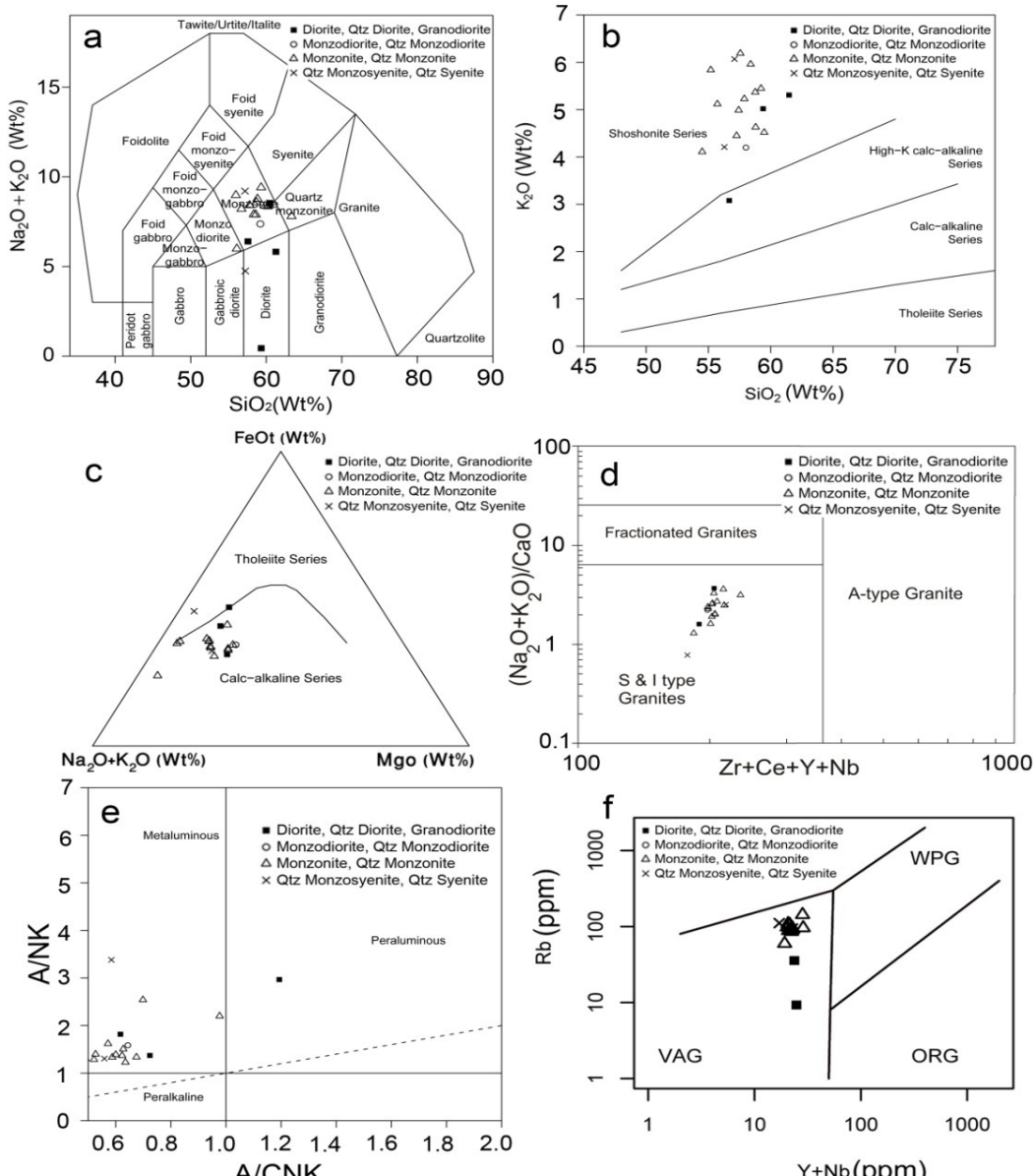
Sample	Bd4	G15	G26	G35	G43	G44	G7	Gv1	Gv4	Ka10
X	۶۹۲۸۸۱	۶۹۲۷۹۵	۶۹۳۰۸۹	۶۹۳۷۷۱	۶۹۲۰۲۸	۶۹۲۰۴۳	۶۹۲۷۵۸	۶۹۰۹۱۳	۶۹۰۸۰۰	۶۹۳۷۰۰
Y	۳۵۹۲۰۷۲	۳۵۹۲۶۰۰	۳۵۹۲۴۴۲۴	۳۵۹۲۸۱۰	۳۵۹۰۹۳۴	۳۵۹۱۳۹۰	۳۵۹۱۸۶۰	۳۵۸۹۹۷۶	۳۵۹۰۳۷۵	۳۵۹۱۷۵۵
(Wt%)										
SiO ₂	۶۱/۴۷	۵۷/۲۶	۵۴/۵	۵۸/۷۶	۵۶/۶۷	۵۹/۳۹	۶۲/۳۷	۵۷/۴۳	۵۷/۰۹	۵۸/۷۹
TiO ₂	۰/۰۳	۰/۶۴	۰/۶۴	۰/۶	۰/۶۲	۰/۶	۰/۷۷	۰/۶۶	۰/۶۵	۰/۰۹
Al ₂ O ₃	۱۹/۶۴	۱۴/۱۴	۱۸/۴۵	۱۵/۵۴	۱۵/۷	۱۵/۰۴	۱۸/۵	۱۵/۰۵	۱۵/۲۹	۱۴/۹۷
FeOt	۰/۲۱	۷/۲۷	۳/۹۷	۵/۱۷	۷/۳۸	۵/۳۵	۲/۵۹	۵/۸۵	۵/۸۹	۵/۷۵
MnO	۰/۲۲	۰/۲۱	۰/۵۱	۰/۲	۰/۲۱	۰/۲۲	۰/۰۴	۰/۱۶	۰/۲	۰/۲۷
MgO	۱/۷۴	۲/۶۹	۲/۴۱	۰/۷۹	۱/۹۹	۳/۴۷	۰/۵۸	۳/۴۳	۲/۷۴	۲/۱۱
CaO	۵/۴۱	۷/۳۶	۱۰/۰۳	۱۰/۱۱	۹/۲۵	۵/۴	۵/۷۹	۷/۷	۸/۶۱	۷/۲
Na ₂ O	۰/۰۳	۳/۲۶	۱/۷۱	۳/۲۲	۳/۲۲	۳/۳۶	۰/۱۷	۲/۷۹	۳/۱۲	۳/۶
K ₂ O	۰/۳۱	۴/۴۵	۴/۱۱	۵/۳۷	۳/۰۸	۵/۰۲	۷/۵۱	۴/۹۹	۶/۰۷	۴/۸۳
P ₂ O ₅	۰/۰۷	۰/۴۳	۰/۳۲	۰/۳۶	۰/۰۳۲	۰/۰۳	۰/۱۴	۰/۳۸	۰/۳۸	۰/۰۳
Total	۱۰۰/۳	۹۷/۷	۹۷/۲	۱۰۰/۱	۹۸/۴	۹۸/۲	۹۸/۵	۹۸/۴	۹۹/۸	۹۸/۲
(ppm)										
Ba	۵۵۹	۷۷۸	۵۷۹	۷۲۰	۷۸۱	۷۳۰	۶۵۳	۶۸۶	۷۰۵	۷۳۹
Rb	۹۸/۳	۹۳/۴	۵۹/۷	۸۹/۰	۳۵/۷	۸۶/۶	۱۴۳/۳	۹۱/۹	۹۴/۴	۹۰/۲
Sr	۵۶۰/۳	۸۴۴/۲	۲۵۶/۳	۸۲۲/۳	۷۹۰/۵	۷۲۵/۳	۲۷۱/۹	۷۲۴/۴	۷۳۲/۱	۷۵۲/۷
Zr	۹۶/۸	۱۰۶/۷	۸۹/۱	۹۸/۴	۸۶/۶	۱۰۰/۳	۱۱۷/۴	۹۴/۷	۱۱۲/۰	۱۰۱/۹
Nb	۰/۸	۴/۹	۴/۹	۵/۶	۳/۱	۵/۳	۵/۹	۴/۹	۴/۷	۵/۷
Ga	۱۳/۸	۱۶/۹	۱۴/۲	۱۵/۱	۱۵/۷	۱۶/۱	۱۱/۵	۱۵/۷	۱۵/۵	۱۶/۷
Rb/Sr	۰/۱۸	۰/۱۱	۰/۲۳	۰/۱۱	۰/۰۵	۰/۱۲	۰/۰۳	۰/۱۳	۰/۱۳	۰/۱۲
Rb/Ba	۰/۱۸	۰/۱۲	۰/۱۰	۰/۱۲	۰/۰۵	۰/۱۲	۰/۰۲	۰/۱۳	۰/۱۳	۰/۱۲
La	۲۴/۰	۲۲/۷	۱۹/۴	۲۳/۵	۱۹/۹	۲۲/۵	۲۵/۴	۲۱/۴	۲۱/۹	۲۲/۷
Ce	۴۸/۳	۴۹/۳	۳۹/۵	۴۷/۹	۴۲/۵	۴۵/۶	۵۱/۵	۴۲/۶	۴۵/۶	۴۶/۳
Pr	۵/۵۸	۵/۸۷	۴/۶۹	۵/۷۱	۵/۳۱	۵/۰۶	۶/۰۰	۵/۳۲	۵/۴۱	۵/۴۵
Nd	۲۱/۸	۲۳/۹	۲۰/۴	۲۳/۷	۲۲/۷	۲۲/۹	۲۳/۵	۲۲/۱	۲۳/۴	۲۰/۹
Sm	۳/۹۲	۴/۵۵	۳/۶۵	۴/۲۲	۴/۴۰	۴/۱۹	۴/۲۴	۴/۲۶	۴/۴۷	۳/۹۲
Eu	۰/۹۹	۱/۲۴	۰/۹۴	۱/۱۵	۱/۲۱	۱/۱۱	۰/۱۹	۱/۱۷	۱/۱۶	۱/۱۲
Gd	۳/۱۸	۳/۸۹	۳/۱۰	۳/۶۴	۴/۰۳	۳/۴۹	۳/۰۲	۳/۸۴	۳/۸۹	۳/۴۳
Tb	۰/۴۵	۰/۰۶	۰/۴۶	۰/۰۳	۰/۶۱	۰/۰۱	۰/۰۱	۰/۰۶	۰/۰۷	۰/۰۱
Dy	۲/۴۹	۳/۰۸	۲/۴۴	۲/۹۳	۳/۵۹	۲/۸۳	۳/۳۹	۳/۲۰	۳/۲۳	۲/۸۶
Ho	۰/۵۱	۰/۵۹	۰/۴۸	۰/۵۸	۰/۷۱	۰/۰۷	۰/۷۴	۰/۶۲	۰/۶۴	۰/۰۹
Er	۱/۱۴	۱/۷۱	۱/۴۳	۱/۶۵	۲/۱۰	۱/۱۷	۲/۱۲	۱/۷۶	۱/۸۴	۱/۸۳
Tm	۰/۲۳	۰/۲۶	۰/۲۳	۰/۲۵	۰/۳۱	۰/۲۵	۰/۲۲	۰/۲۷	۰/۲۸	۰/۲۴
Yb	۱/۶۲	۱/۷۹	۱/۵۱	۱/۶۸	۲/۱۹	۱/۷۴	۲/۲۹	۱/۸۴	۱/۸۴	۱/۷۳
Lu	۰/۱۴	۰/۲۶	۰/۲۳	۰/۲۶	۰/۳۲	۰/۲۶	۰/۲۵	۰/۲۸	۰/۲۸	۰/۲۶
Y	۱۴/۵	۱۷/۵	۱۴/۳	۱۶/۶	۲۰/۶	۱۶/۴	۲۲/۴	۱۸/۰	۱۸/۰	۱۶/۸
Eu/Eu*	۰/۸۵۷	۰/۹۰۱	۰/۸۵۴	۰/۸۸۷	۰/۸۷۹	۰/۸۸۸	۰/۶۹۶	۰/۸۸۴	۰/۸۵۱	۰/۹۳۴
(La/Yb)N	۹/۹۸۸	۸/۹۲۶	۸/۶۶۲	۹/۴۳۱	۶/۱۲۶	۸/۷۱۸	۷/۴۷۸	۷/۸۴۱	۸/۰۲۴	۸/۸۴۶

ادامه جدول ۱

Sample	Km1	Km17	Km6	Mh1	SA4	SA6	Sh1	Sh15	Sh5	Yu10
X	۶۹۰۰۹۹	۶۸۹۹۳۰	۶۹۰۱۷۲	۶۹۵۲۰۴	۶۸۹۳۹۶	۶۹۰۷۷۳	۶۹۱۰۹	۶۹۱۹۶۹	۶۹۱۹۶۰	۶۹۹۶۱۹
Y	۳۵۹۰۱۴۵	۳۵۸۸۱۴۲	۳۵۸۹۰۶۸	۳۵۹۱۰۷۶	۳۵۹۱۳۹۵	۳۵۹۲۳۷۰	۳۵۹۴۳۵۴	۳۵۹۳۴۷۷	۳۵۹۳۴۷۹	۳۵۹۱۴۳۰
(Wt%)										
SiO ₂	۵۸/۰۱	۵۸/۹۳	۵۵/۱۹	۵۷/۵۶	۵۷/۸۸	۵۹/۴۸	۵۹/۲۲	۵۵/۷۲	۵۸/۳۹	۵۶/۲۸
TiO ₂	۰/۵۵	۰/۵۹	۰/۶	۰/۵۳	۰/۶۲	۰/۶۳	۰/۵۶	۰/۵۷	۰/۷۱	۰/۴۵
Al ₂ O ₃	۱۵/۱۳	۲۲/۸	۱۴/۶۹	۱۶/۶۹	۱۵/۰۲	۱۴/۷۵	۱۳/۵۳	۱۳/۹۹	۱۴/۵۹	۱۷/۹۷
FeOt	۵/۵۵	۴/۶۷	۶/۱۳	۴/۸۵	۵/۰۱	۵/۷۳	۵/۳۷	۵/۱۷	۶/۵۵	۴/۲۶
MnO	۰/۱۹	۰/۲۱	۰/۲۴	۰/۲	۰/۲۱	۰/۲۳	۰/۲۲	۰/۲۶	۰/۲۴	۰/۱۴
MgO	۳/۳۷	۰/۲۹	۲/۲۵	۰/۷	۲/۸۱	۳/۳۸	۲/۲۹	۲/۲۸	۲/۱۸	۰/۳۸
CaO	۷/۶۸	۱۱/۱۲	۱۰/۱۲۸	۱۰/۳۸	۷/۸۷	۵/۹۵	۸/۵	۱۱/۷۵	۶/۱	۱۳/۹۹
Na ₂ O	۳/۰۳	۰/۱۱	۳/۰۱	۲/۱۹	۳/۴	۳/۷۳	۲/۸	۲/۹۵	۳/۳	۰/۴۶
K ₂ O	۴/۲	۰/۳۳	۵/۸۴	۶/۱۹	۵/۲۳	۴/۵۲	۵/۴۵	۵/۱۲	۵/۹۶	۴/۲۱
P ₂ O ₅	۰/۲۶	۰/۲۸	۰/۳۷	۰/۳۲	۰/۳۳	۰/۳۷	۰/۳۶	۰/۴۴	۰/۴۲	۰/۲۲
Total	۹۸/۰	۹۹/۳	۹۸/۶	۹۹/۶	۹۸/۴	۹۸/۸	۹۸/۳	۹۸/۳	۹۸/۴	۹۸/۴
(ppm)										
Ba	۶۰۹	۳/۱	۷۲۳	۸۰۳	۸۲۳	۷۹۲	۶۶۰	۷۱۰	۸۵۰	۵۲۶
Rb	۸۸/۵	۹/۳	۹۶/۵	۱۰۴/۴	۱۰۶/۴	۸۸/۱	۱۰۸/۹	۸۵/۸	۹۶/۱	۱۱۱/۱
Sr	۶۳۸/۶	۷۶۷/۱	۸۵۳/۶	۵۵۴/۶	۶۸۹/۰	۷۰۵/۳	۷۲۰/۴	۸۳۹/۱	۷۴۴/۲	۵۰۸/۷
Zr	۹۵/۵	۹۲/۷	۹۹/۸	۹۶/۷	۹۸/۵	۱۰۲/۲	۹۶/۵	۹۴/۳	۱۰۱/۱	۸۵/۲
Nb	۴/۹	۶/۲	۵/۰	۵/۳	۵/۵	۵/۵	۴/۶	۵/۱	۵/۰	۴/۶
Ga	۱۵/۲	۱۵/۱	۱۵/۷	۱۵/۰	۱۶/۱	۱۵/۸	۱۴/۰	۱۵/۳	۱۵/۵	۱۲/۴
Rb/Sr	۰/۱۴	۰/۰۱	۰/۱۱	۰/۱۹	۰/۱۵	۰/۱۲	۰/۱۵	۰/۱۰	۰/۱۳	۰/۲۲
Rb/Ba	۰/۱۵	۰/۰۳	۰/۱۳	۰/۱۳	۰/۱۳	۰/۱۱	۰/۱۶	۰/۱۲	۰/۱۱	۰/۲۱
La	۲۱/۰	۲۶/۹	۲۳/۱	۲۳/۵	۲۳/۱	۲۲/۲	۲۱/۸	۲۲/۵	۲۳/۰	۲۱/۱
Ce	۴۲/۹	۵۳/۱	۴۶/۱	۴۷/۶	۴۶/۰	۴۴/۳	۴۴/۶	۴۷/۴	۴۷/۷	۳۹/۸
Pr	۵/۲۲	۶/۲۹	۵/۶۳	۵/۵۶	۵/۳۱	۵/۲۶	۵/۳۰	۵/۷۰	۶/۱۱	۴/۴۳
Nd	۲۰/۶	۲۵/۵	۲۳/۰	۲۲/۲	۲۰/۸	۲۱/۲	۲۱/۴	۲۲/۷	۲۵/۶	۱۷/۶
Sm	۳/۹۲	۴/۰۲	۴/۴۰	۴/۱۷	۳/۹۰	۳/۹۲	۳/۹۸	۴/۳۲	۵/۰۴	۳/۱۵
Eu	۱/۰۹	۱/۱۹	۱/۲۳	۱/۱۱	۱/۰۴	۱/۰۵	۱/۰۹	۱/۱۶	۱/۶۴	۰/۸۴
Gd	۳/۵۵	۳/۸۲	۳/۸۹	۳/۵۱	۳/۴۱	۳/۲۶	۳/۵۰	۳/۷۲	۵/۳۹	۲/۸۹
Tb	۰/۰۳	۰/۰۷	۰/۰۶	۰/۰۱	۰/۴۹	۰/۴۹	۰/۰۰	۰/۰۴	۰/۸۴	۰/۳۸
Dy	۳/۰۵	۳/۲۷	۳/۰۶	۲/۷۶	۲/۶۵	۲/۷۰	۲/۷۲	۳/۰۳	۴/۴۷	۲/۰۸
Ho	۰/۰۳	۰/۰۵	۰/۰۱	۰/۰۲	۰/۰۳	۰/۰۴	۰/۰۴	۰/۰۸	۰/۱۹	۰/۴۱
Er	۱/۷۶	۱/۸۸	۱/۸۰	۱/۰۲	۱/۰۸	۱/۰۸	۱/۰۵	۱/۰۵	۱/۷۰	۲/۴۶
Tm	۰/۰۶	۰/۰۹	۰/۰۷	۰/۰۳	۰/۰۴	۰/۰۵	۰/۰۳	۰/۰۵	۰/۰۸	۰/۰۰
Yb	۱/۰۴	۲/۰۲	۱/۸۰	۱/۰۰	۱/۶۳	۱/۸۲	۱/۶۶	۱/۶۶	۲/۴۱	۱/۴۲
Lu	۰/۰۸	۰/۰۱	۰/۰۹	۰/۰۴	۰/۰۵	۰/۰۶	۰/۰۵	۰/۰۶	۰/۰۵	۰/۰۱
Y	۱/۰۵	۱۸/۶	۱۷/۶	۱۵/۷	۱۵/۹	۱۵/۴	۱۶/۱	۱۷/۲	۲۳/۷	۱۲/۰
Eu/Eu*	۰/۸۹۳	۰/۸۷۶	۰/۹۰۹	۰/۸۸۷	۰/۸۷۲	۰/۸۹۸	۰/۸۹۳	۰/۸۸۵	۰/۹۱۸	۰/۸۸۲
(La/Yb)N	۷/۶۹۵	۸/۹۷۸	۸/۶۵۲	۹/۹۰۲	۹/۵۵۵	۹/۲۳۹	۸/۸۵۴	۹/۵۴۴	۶/۴۳۴	۱۰/۰۱۸

قرار دارند (شکل ۶-۶). مقدار عناصر لیتوفیل با شعاع یونی بالا (LILE) نمونه‌ها در مجموع بالاست. نسبت Rb/Sr سنگها بین ۰/۰۵ تا ۰/۳۱ است. مقدار Ba بین ۵۲۶ تا ۸۵۰ متریغ است. نمودارهای عناصر کمیاب تمایز کننده محیط تکتونوماگمایی گرانیتوئیدها [۱۴] نشان می‌دهد که توده‌های منطقه متعلق به گرانیتوئیدهای کمان آتشفسانی (Volcanic Granitoid) هستند (شکل ۶-۶).

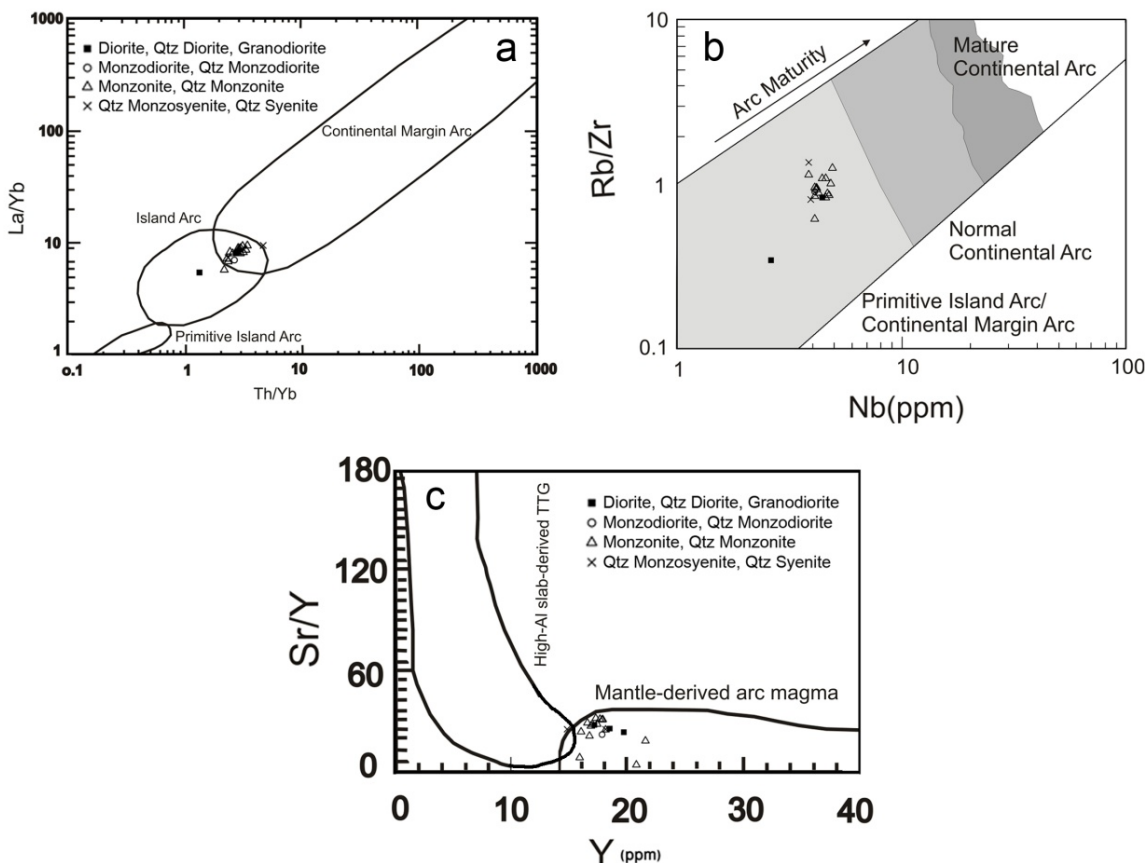
در نمودار درصد اکسید منیزیم، آهن کل و آلکالی [۱۱] توده‌ای نفوذی منطقه در امتداد روند کالک‌آلکالن به سمت Zr + MgO کم قرار می‌گیرند (شکل ۶-۶). نمودار (Na₂O + K₂O)/CaO در مقابل Ce + Y + Nb [۱۲] نشان می‌دهد که توده‌های نفوذی منطقه در محدوده گرانیتوئیدهای تیپ S و I قرار می‌گیرد (شکل ۶-۶). طبقه‌بندی سنگهای منطقه بر اساس شاخص آلومینیوم [۱۳] حاکی از آن است که نمونه‌ها در محدوده متا‌آلومینیوس



شکل ۶. a) نمودار نام‌گذاری سنگهای آذرین درونی به روش AFM [۹]. b) TAS نمودار تعیین اندیس پتاسیم [۱۰]. c) نمودار تعیین اندیس پتاسیم [۱۱]. d) نمودار تعیین گرانیتوئیدهای S و I [۱۲]. e) نمودار تعیین اندیس آلومینیوم [۱۳]. f) نمودار تعیین موقعیت تکتونیکی گرانیتوئیدها [۱۴].

قرار می‌گیرند (شکل ۷-۳). در نمودار Y / Sr در مقابل Y [۱۷] نمونه‌ها در موقعیت سنگهای منشأ گرفته از گوشته قرار می‌گیرند (شکل ۷-۴).

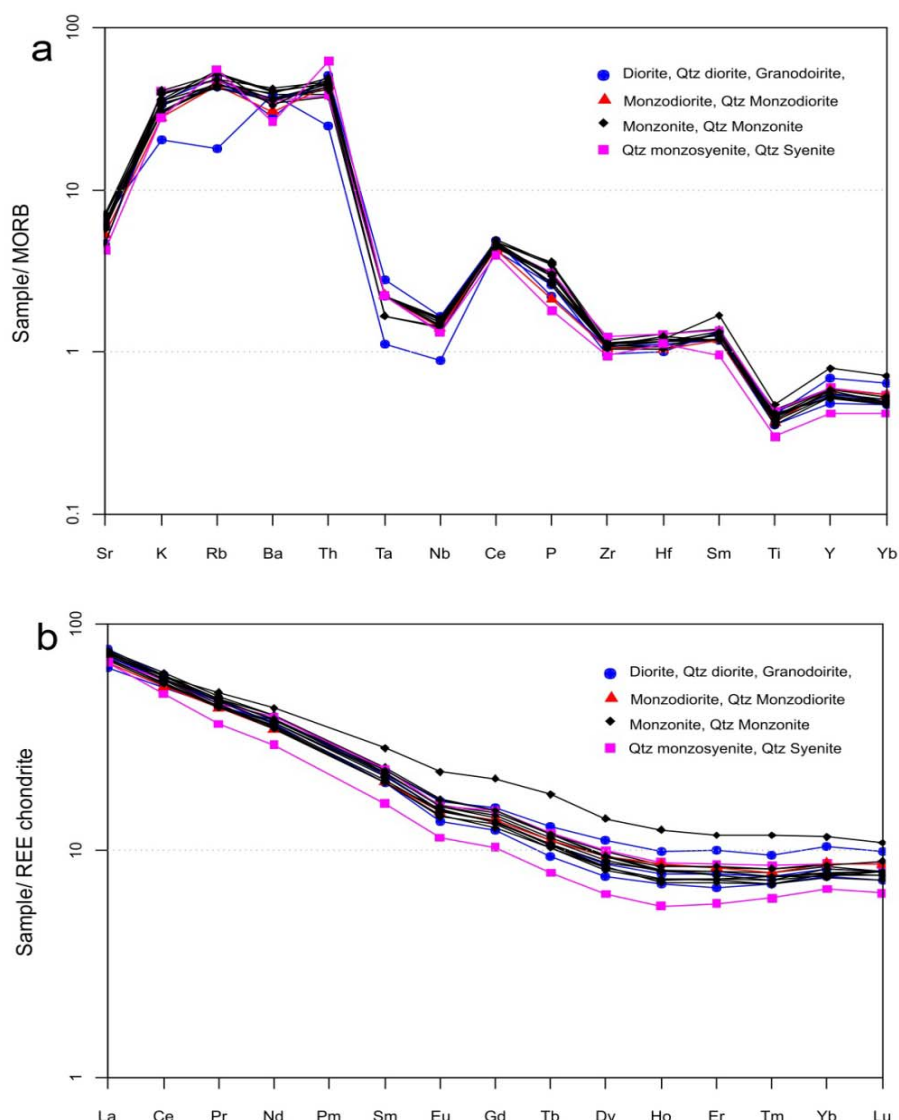
نمودار La / Yb در مقابل Th / Yb [۱۵] توده‌های نفوذی کوهشاه در منطقه مشترک جزایر قوسی و کمان حاشیه قاره قرار دارند (شکل ۷-۵). در نمودار Rb / Zr در مقابل Nb [۱۶] نمونه‌ها در منطقه جزایر قوسی / کمان حاشیه قاره



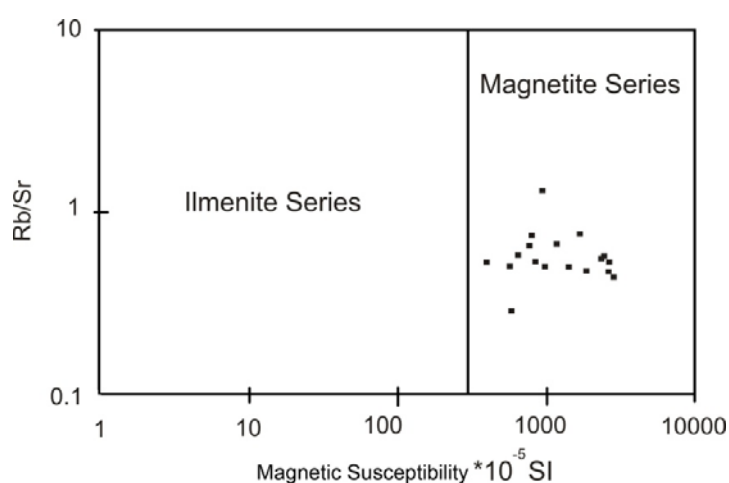
شکل ۷. a) نمودار La / Yb در مقابل Th / Yb . b) نمودار Rb / Zr در مقابل Nb . c) نمودار Y / Sr در مقابل Nb .

پذیرفتاری مغناطیسی
کلیه توده‌های نفوذی منطقه از جهت میزان پذیرفتاری مغناطیسی در بیش از ۵۰۰ نقطه، مورد بررسی قرار گرفتند. در مناطق نسبتاً تازه‌تر، پذیرفتاری مغناطیسی در بالاترین مقدار آن $\text{SI} = 3.033 \times 10^{-5}$ و در پایین‌ترین مقدار آن $\text{SI} = 6.07 \times 10^{-5}$ به طور میانگین در این توده‌ها در حدود 1.032×10^{-5} است. نمایش نسبت Rb / Sr در مقابل Y / Sr پذیرفتاری مغناطیسی [۲۰] نشان می‌دهد که کلیه توده‌های نفوذی منطقه کوهشاه از نوع سری مگنتیت یا اکسیدان هستند (شکل ۹).

نمودار عنکبوتی نمونه‌ها که به MORB نرمالایز شده [۱۸] آنومالی منفی مشخصی در عناصر واسطه باشد میدان زیاد (HFSE) نظیر Nb و Ti نشان می‌دهد. در مقابل عناصر واسطه باشد میدان کم (LFSE) نظیر Ba و Rb آنومالی مثبت نشان می‌دهند (شکل ۸-a). الگوی عناصر نادر خاکی که نسبت به کندریت نرمالایز شده‌اند [۱۹] غنی‌شدگی ملایی از LREE ها نشان داده و فاقد آنومالی مشخص Eu هستند. مجموع مقدار عناصر نادر خاکی بین ۹۵ تا ۱۲۶ ppm متغیر است. نسبت $(\text{La} / \text{Yb})_N$ بین ۰.۹ تا ۱.۰/۰.۱ متغیر بوده و نسبت Eu / Eu^* از ۰/۶ تا ۰/۹ متغیر است (شکل ۸-b).



شکل ۸. a) نمودار عنکبوتی عناصر فرعی و کمیاب که نسبت به MORB نرمال شده‌اند [۱۸]. b) نمودار عناصر نادر خاکی که نسبت به کندریت نرمال شده‌اند [۱۹].



شکل ۹. نمودار تفکیک گرانیت‌های سری مگنتیت و ایلمنیت [۲۰].

بیوپتیت کلینوپیروکسن کوارتز دیوریت پورفیری با شماره G44 در شکل (۱۱) نشان داده شده است. بر اساس تجزیه ۱۸ نقطه میانگین سن به دست آمده 0.9 ± 0.6 میلیون سال است (با خطای ۲ سیگما). نتایج سن‌سنجی نشان می‌دهد سنگهای گرانیتوئیدی منطقه کوهشاه در ائوسن میانی (پربایونین-بارتونین) تشکیل شده‌اند.

Nd-Sr ایزوتوب

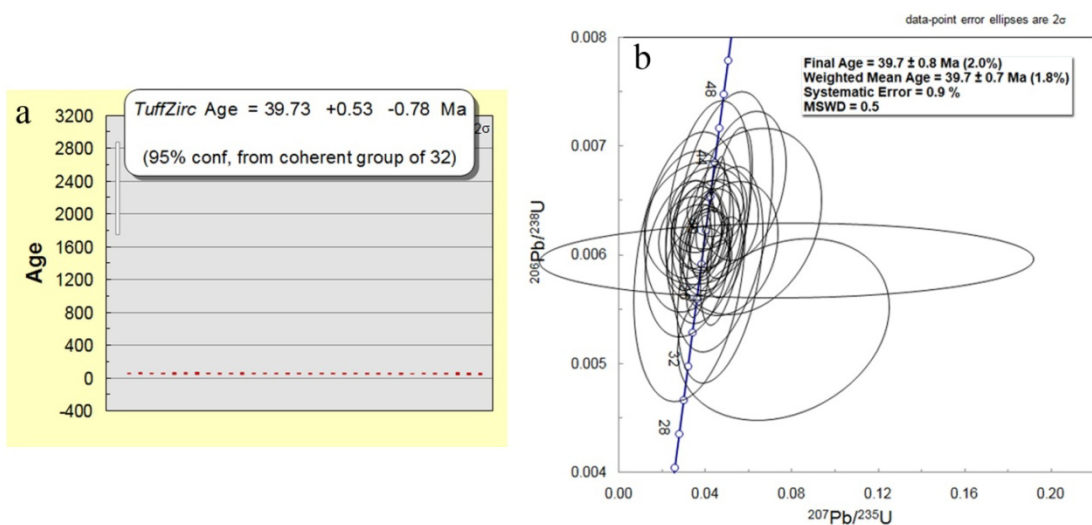
تجزیه ایزوتوب‌های رادیوژنیک Rb-Sr و Sm-Nd نیز روی کل نمونه سنگهایی که برای سن‌سنجی فرستاده شدند توسط 6-collector Finnigan MAT 261 Thermal Ionization Mass Spectrometer در دستگاه Laser Chron آریزونا در Laser-Ablation دانشگاه آریزونا ارسال شد و به روش multi collector ICP-MS زیرکن‌ها ابتدا در یک پلاک اپاکسی همراه با خرده‌هایی از زیرکن استاندارد و شیشه‌های NBS 610 μm صیقل می‌خورند. در زیر میکروسکپ کاتدولومینسانس (CL) از نمونه‌ها عکس تهیه می‌شود. عکس تهیه شده ساختار درونی دانه‌های زیرکن برش خورده را نشان می‌دهد و با استفاده از آن مکانهای مناسب برای پرتو لیزر انتخاب می‌شوند. این تصویر همچنین می‌تواند به تعیین منشأ دانه‌های زیرکن (آذرین، دگرگونی یا گرمابی) کمک کند. این روش به طور معمول با یک پرتو به قطر ۳۵ یا ۲۵ میکرون و اگر لازم باشد در دانه‌های ریزتر به قطر ۱۵ یا ۱۰ میکرون صورت می‌پذیرد. پرتو ۳۵ یا ۲۵ میکرونی با نرخ تکرار ۸ هرتز و انرژی ۱۰۰ میکروژول تنظیم می‌شود که می‌تواند یک سیگنال کم و بیش ۱۰۰۰۰۰ cps در گرم در تن برای U در زیرکن تولید کند. برای اندازه‌های کوچکتر پرتو لیزر، انرژی به ۶۰ میکروژول و نرخ تکرار ۴ هرتز کاهش می‌یابد. در هر دو حالت بیان شده مواد برانگیخته شده توسط پرتو لیزر از یک اتفاق گاز هلیم عبور می‌کند. گاز هلیم و نمونه برانگیخته شده پیش از ورود به محیط پلاسما ICP-MS با گاز آرگون مخلوط می‌شوند. مقدار Pb ایزوتوبی نسبت به Th و U به کمک نمونه استانداری محاسبه می‌شود که همراه با زیرکن‌ها قالب‌گیری شده و هر بار با اندازه‌گیری سه تا پنج نمونه مجھول اندازه گیری آن تکرار می‌شود. نتایج اندازه‌گیریهای U-Th-Pb برای نمونه‌ها در جدول (۲) آمده است. نتایج محاسبات نمونه هورنبلند کلینوپیروکسن کوارتز دیوریت پورفیری با شماره ۳۲ در شکل (۱۰) نشان داده شده است. بر اساس تجزیه ۱۰ Bd4 نقطه میانگین سن به دست آمده 0.7 ± 0.2 میلیون سال است (با خطای ۲ سیگما). نتایج محاسبات نمونه هورنبلند

سن سنجی U/Pb

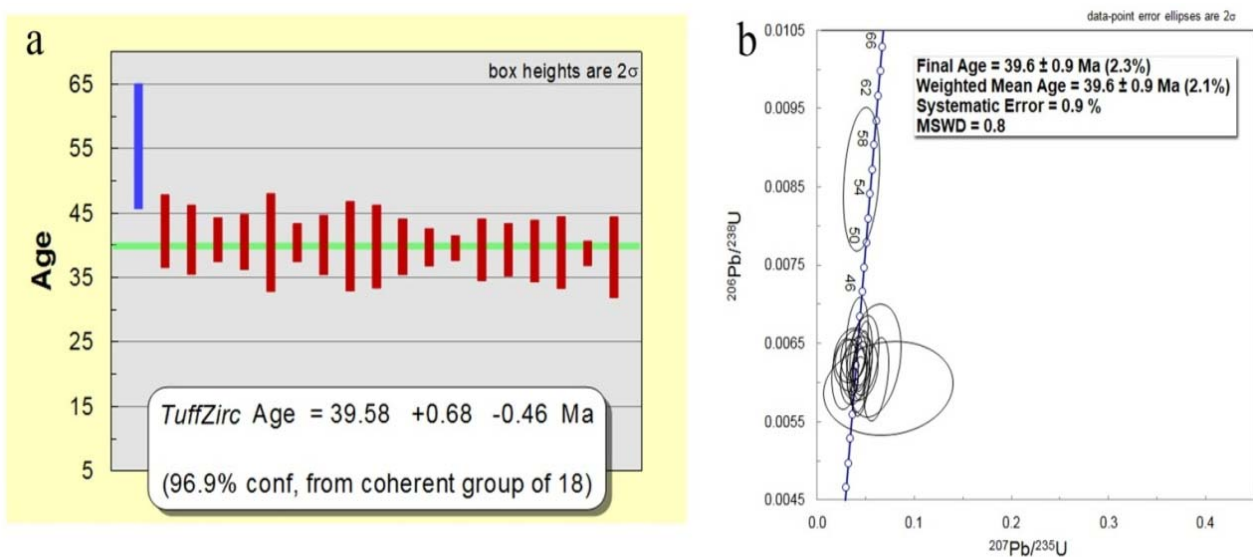
دو نمونه از واحدهای گرانیتوئیدی منطقه بعد از مطالعات دقیق پتروگرافی و پترولوزیکی برای سن‌سنجی به روش U-Pb انتخاب گردید (هورنبلند کلینوپیروکسن کوارتز دیوریت پورفیری با شماره Bd4 و هورنبلند بیوپتیت کلینوپیروکسن کوارتز دیوریت پورفیری با شماره G44). از هر نمونه در حدود ۷۰ دانه زیرکن به روش استاندارد جداسازی و تفکیک گردید. زیرکن‌ها برای تعیین سن به مرکز Laser Chron آریزونا در دانشگاه آریزونا ارسال شد و به روش multi collector ICP-MS زیرکن‌ها ابتدا در یک پلاک اپاکسی همراه با خرده‌هایی از زیرکن استاندارد و شیشه‌های NBS 610 قالب‌گیری شده و تا μm صیقل می‌خورند. در زیر میکروسکپ کاتدولومینسانس (CL) از نمونه‌ها عکس تهیه می‌شود. عکس تهیه شده ساختار درونی دانه‌های زیرکن برش خورده را نشان می‌دهد و با استفاده از آن مکانهای مناسب برای پرتو لیزر انتخاب می‌شوند. این تصویر همچنین می‌تواند به تعیین منشأ دانه‌های زیرکن (آذرین، دگرگونی یا گرمابی) کمک کند. این روش به طور معمول با یک پرتو به قطر ۳۵ یا ۲۵ میکرون و اگر لازم باشد در دانه‌های ریزتر به قطر ۱۵ یا ۱۰ میکرون صورت می‌پذیرد. پرتو ۳۵ یا ۲۵ میکرونی با نرخ تکرار ۸ هرتز و انرژی ۱۰۰ میکروژول تنظیم می‌شود که می‌تواند یک سیگنال کم و بیش ۱۰۰۰۰۰ cps در گرم در تن برای U در زیرکن تولید کند. برای اندازه‌های کوچکتر پرتو لیزر، انرژی به ۶۰ میکروژول و نرخ تکرار ۴ هرتز کاهش می‌یابد. در هر دو حالت بیان شده مواد برانگیخته شده توسط پرتو لیزر از یک اتفاق گاز هلیم عبور می‌کند. گاز هلیم و نمونه برانگیخته شده پیش از ورود به محیط پلاسما ICP-MS با گاز آرگون مخلوط می‌شوند. مقدار Pb ایزوتوبی نسبت به Th و U به کمک نمونه استانداری محاسبه می‌شود که همراه با زیرکن‌ها قالب‌گیری شده و هر بار با اندازه‌گیری سه تا پنج نمونه مجھول اندازه گیری آن تکرار می‌شود. نتایج اندازه‌گیریهای U-Th-Pb برای نمونه‌ها در جدول (۲) آمده است. نتایج محاسبات نمونه هورنبلند کلینوپیروکسن کوارتز دیوریت پورفیری با شماره ۳۲ در شکل (۱۰) نشان داده شده است. بر اساس تجزیه ۱۰ Bd4 نقطه میانگین سن به دست آمده 0.7 ± 0.2 میلیون سال است (با خطای ۲ سیگما). نتایج محاسبات نمونه هورنبلند

جدول ۲. نتایج آنالیز سن سنگی U-Th-Pb نمونه‌های گرانیت‌بندی منطقه کوه شاه.

Analysis	U (ppm)	$^{206}\text{Pb}/^{204}\text{Pb}$	U/Th	$^{206}\text{Pb}/^{207}\text{Pb}$	\pm (%)	$^{207}\text{Pb}/^{235}\text{U}$	\pm (%)	$^{206}\text{Pb}/^{238}\text{U}$	\pm (%)	Age (Ma)	\pm (Ma)
Bd4- Hornblende-clinopyroxene quartz diorite porphyry											
Bd4-1R	۳۲۱	۶۴۹۹۶	۱/۱	۲۱/۴۱۸۴	۱۴/۷	۰/۰۳۹۸	۱۵/۶	۰/۰۰۶۲	۵/۳	۳۹/۸	۲/۱
Bd4-1C	۳۳۳	۳۳۸۰۱	۰/۹	۲۰/۱۶۳۵	۲۷/۲	۰/۰۴۲۰	۲۷/۹	۰/۰۰۶۱	۶/۳	۳۹/۵	۲/۵
Bd4-2C	۴۴۸	۴۴۶۰۲	۱/۰	۱۶/۹۱۶۴	۱۳/۱	۰/۰۴۸۷	۱۴/۰	۰/۰۰۶۰	۵/۱	۳۸/۴	۲/۰
Bd4-2R	۱۸۲	۳۱۹۲۸	۱/۰	۲۱/۵۹۳۱	۳۷/۳	۰/۰۴۰۹	۳۹/۵	۰/۰۰۶۴	۱۳/۲	۴۱/۱	۵/۴
Bd4-3C	۸۱۸	۱۲۴۷۲	۰/۵	۱۷/۸۳۲۶	۱۰/۰	۰/۰۴۶۱	۱۰/۳	۰/۰۰۶۰	۲/۵	۳۸/۳	۰/۹
Bd4-S4C	۲۱۴	۲۲۷۶۸	۱/۱	۱۸/۲۵۷۰	۲۶/۸	۰/۰۴۷۶	۴۰/۰	۰/۰۰۶۳	۱۵/۷	۴۰/۵	۶/۳
Bd4-S4R	۳۴۵	۴۷۵۹۰	۱/۰	۲۶/۱۳۸۱	۲۷/۳	۰/۰۳۲۶	۲۸/۲	۰/۰۰۶۲	۶/۸	۳۹/۷	۲/۷
Bd4-5R	۳۱۶	۶۰۰۴۷	۰/۷	۲۰/۰۷۵۱	۲۴/۱	۰/۰۴۴۲	۲۴/۳	۰/۰۰۶۴	۳/۳	۴۱/۴	۱/۴
Bd4-5C	۴۴۳	۳۹۶۱۷	۰/۶	۲۰/۹۳۷۳	۱۷/۴	۰/۰۴۱۵	۱۸/۷	۰/۰۰۶۳	۷/۰	۴۰/۵	۲/۸
Bd4-6C	۲۸۸	۹۵۳۱۷	۰/۹	۲۱/۶۵۹۱	۳۵/۳	۰/۰۴۱۰	۳۵/۶	۰/۰۰۶۴	۴/۸	۴۱/۴	۲/۰
Bd4-6R	۲۲۴	۱۲۸۳۰	۰/۹	۱۷/۴۸۰۲	۱۵/۶	۰/۰۴۹۴	۱۹/۷	۰/۰۰۶۳	۱۲/۰	۴۰/۳	۴/۸
Bd4-7C	۱۵۰۶	۲۸۸۸۴	۰/۴	۲۰/۱۹۸۲	۴/۹	۰/۰۴۵۴	۹/۵	۰/۰۰۶۷	۲/۲	۴۲/۸	۱/۴
Bd4-7R	۴۰۷	۳۵۸۲۹	۰/۸	۲۳/۷۵۷۲	۲۷/۸	۰/۰۴۶۲	۲۷/۹	۰/۰۰۶۲	۲/۹	۴۰/۱	۱/۲
Bd4-8R	۱۹۴	۱۵۰۹۴	۱/۲	۱۵/۹۸۳۷	۲۶/۶	۰/۰۵۷۲	۲۷/۹	۰/۰۰۶۶	۸/۵	۴۲/۷	۳/۶
Bd4-9C	۳۶۶	۵۲۱۹۳	۱/۱	۲۰/۰۵۳۶	۲۰/۷	۰/۰۴۱۳	۲۱/۰	۰/۰۰۶۱	۳/۵	۳۹/۵	۱/۴
Bd4-10C	۴۱۰	۵۳۱۵۷	۰/۸	۲۴/۰۵۱۴	۲۷/۳	۰/۰۳۵۸	۲۷/۸	۰/۰۰۶۳	۵/۰	۴۰/۲	۲/۰
Bd4-10R	۴۷۶	۳۶۹۵۲	۰/۹	۲۰/۹۲۴۵	۲۱/۳	۰/۰۳۹۸	۲۲/۰	۰/۰۰۶۰	۵/۶	۳۸/۸	۲/۱
Bd4-11C	۱۵۶	۱۷۲۵۹	۱/۹	۲۳/۰۵۶۹	۵۶/۹	۰/۰۳۷۶	۵۷/۴	۰/۰۰۶۳	۷/۴	۴۰/۵	۳/۰
Bd4-11R	۳۲۰	۶۵۳۵۳	۱/۱	۲۵/۹۸۷۷	۲۶/۲	۰/۰۳۲۷	۳۶/۶	۰/۰۰۶۲	۵/۰	۳۹/۶	۲/۰
Bd4-12C	۱۳۸	۲۳۱۳۸	۱/۰	۱۰/۶۵۱۴	۱۲۱/۴	۰/۰۷۷۰	۱۲۱/۰	۰/۰۰۵۹	۴/۷	۳۸/۲	۱/۸
Bd4-12R	۱۶۸	۷۴۰۲۸	۱/۴	۲۶/۷۵۱۲	۵۱/۴	۰/۰۳۲۰	۵۲/۳	۰/۰۰۶۲	۹/۸	۳۹/۹	۳/۹
Bd4-14R	۱۶۹	۵۸۰۴	۱/۵	۹/۶۴۶۷	۵۱/۳	۰/۰۷۵۸	۵۲/۹	۰/۰۰۵۳	۱۳/۰	۳۴/۱	۴/۴
Bd4-15R	۲۵۶	۳۱۱۳۷	۱/۲	۲۱/۰۵۴۳۲	۳۰/۷	۰/۰۴۰۱	۳۱/۲	۰/۰۰۶۳	۵/۴	۴۰/۳	۲/۲
Bd4-17R	۱۵۱	۹۹۳۶	۱/۵	۱۶/۰۵۰۱۳	۳۵/۶	۰/۰۵۰۵	۳۶/۶	۰/۰۰۶۱	۸/۴	۳۸/۹	۳/۳
Bd4-18R	۴۰۸	۷۳۳۴۷۶	۱/۲	۲۱/۸۳۰۱	۲۲/۷	۰/۰۳۸۷	۲۲/۰	۰/۰۰۶۱	۳/۹	۳۹/۴	۱/۵
Bd4-19R	۳۴۷	۳۵۲۹۸	۱/۱	۲۲/۲۱۰۵	۱۱/۷	۰/۰۳۶۶	۱۳/۵	۰/۰۰۵۹	۶/۶	۳۷/۹	۲/۵
Bd4-20R	۳۴۷	۳۱۰۵۹	۱/۰	۲۲/۴۹۹۳	۳۲/۵	۰/۰۳۶۲	۳۲/۸	۰/۰۰۵۹	۴/۷	۳۸/۰	۱/۸
Bd4-21R	۱۸۴	۲۵۷۶۲	۱/۲	۱۷/۲۵۱۳	۳۲/۰	۰/۰۴۵۶	۳۴/۹	۰/۰۰۵۸	۱۴/۱	۳۷/۴	۵/۳
Bd4-22R	۱۴۲	۱۴۹۶۶	۱/۲	۲۵/۲۵۷۹	۶۳/۵	۰/۰۳۲۲	۶۵/۹	۰/۰۰۵۹	۱۷/۴	۳۷/۹	۶/۶
Bd4-23R	۱۶۹	۱۷۶۱۲	۱/۲	۱۴/۱۸۶۵	۴۷/۴	۰/۰۵۸۵	۴۸/۷	۰/۰۰۶۳	۱۱/۲	۴۰/۵	۴/۵
Bd4-24R	۲۷۶	۲۲۲۲۷	۱/۲	۲۶/۱۰۰۹	۵۰/۰	۰/۰۳۱۵	۵۱/۰	۰/۰۰۶۰	۱۰/۰	۳۸/۳	۳/۸
Bd4-25R	۵۷۱	۸۶۵۱۲	۱/۲	۲۲/۴۴۰۳	۶/۴	۰/۰۳۸۴	۷/۰	۰/۰۰۶۲	۲/۸	۴۰/۲	۱/۱
G44- Hornblende-biotite-clinopyroxene quartz diorite porphyry											
G44-1C	۱۸۴	۴۰۰۶	۱/۳	۱۴/۰۰۱۶	۱۶/۲	۰/۰۴۹۳	۱۷/۷	۰/۰۰۶۰	۷/۲	۳۸/۷	۲/۸
G44-1R	۲۲۹	۶۸۳۶۷	۱/۲	۱۸/۹۵۷۶	۱۷/۰	۰/۰۴۴۸	۱۸/۸	۰/۰۰۶۲	۸/۱	۳۹/۶	۳/۲
G44-2R	۲۸۲	۴۶۲۵۰	۱/۲	۲۳/۸۷۳۹	۲۹/۳	۰/۰۳۶۶	۲۹/۶	۰/۰۰۶۳	۴/۲	۴۰/۷	۱/۷
G44-3C	۴۴۰	۹۲۳۴۰	۰/۹	۱۹/۶۵۰۸	۱۲/۸	۰/۰۴۲۲	۱۳/۳	۰/۰۰۶۲	۳/۷	۳۹/۵	۱/۴
G44-3R	۴۰۴	۳۷۳۸۰	۱/۰	۱۹/۹۷۰۲	۱۲/۸	۰/۰۴۲۳	۱۴/۰	۰/۰۰۶۱	۲/۴	۳۹/۴	۰/۹
G44-4R	۳۱۱	۶۱۱۳۵	۱/۱	۳۱/۱۵۲۸	۴۱/۰	۰/۰۲۷۰	۴۱/۴	۰/۰۰۶۱	۶/۱	۳۹/۱	۲/۴
G44-5C	۴۶۲	۱۳۹۷۸۴	۰/۸	۲۰/۰۲۳۴۹	۳۶/۹	۴۲/۰	۳۷/۳	۰/۰۰۶۲	۵/۵	۳۹/۶	۲/۲
G44-5R	۲۴۴	۵۴۰۴۲	۱/۴	۲۶/۰۵۷۵	۳۸/۶	۰/۰۳۲۵	۳۸/۸	۰/۰۰۶۳	۳/۷	۴۰/۲	۱/۵
G44-6R	۲۵۷	۳۹۱۶۲	۱/۲	۲۴/۶۵۰۷	۴۶/۲	۰/۰۳۵۱	۴۶/۵	۰/۰۰۶۳	۵/۳	۴۰/۳	۲/۱
G44-7R	۱۲۲	۲۷۲۴۵	۱/۲	۱۱/۳۲۰۹	۷۵/۵	۰/۰۷۲۰	۷۵/۹	۰/۰۰۵۹	۸/۳	۳۸/۰	۳/۱
G44-8R	۲۲۸	۳۵۱۰۱	۰/۷	۹/۳۴۴۲	۲۸/۱۸	۰/۰۹۱۱	۲۸/۱۹	۰/۰۰۶۲	۸/۸	۳۹/۷	۳/۵
G44-12R	۴۲۲	۸۸۹۹۷	۱/۴	۲۳/۱۵۱۵	۱۲/۵	۰/۰۳۵۷	۱۲/۷	۰/۰۰۶۰	۲/۴	۳۸/۶	۰/۹
G44-14R	۳۱۰	۸۱۲۵۴	۱/۱	۱۸/۴۶۹۷	۲۵/۶	۰/۰۴۷۳	۲۶/۴	۰/۰۰۶۳	۶/۶	۴۰/۷	۲/۷
G44-15R	۲۷۶	۶۱۰۷۲	۱/۴	۲۲/۷۷۲۷	۲۳/۰	۰/۰۳۹۷	۲۴/۰	۰/۰۰۶۵	۶/۸	۴۲/۰	۲/۸
G44-16R	۲۸۵	۸۳۲۰۴	۱/۲	۱۹/۰۵۴۶	۱۸/۹	۰/۰۴۲۷	۱۹/۹	۰/۰۰۶۱	۶/۱	۳۸/۹	۲/۴
G44-19R	۲۲۹	۴۸۶۱۵	۱/۲	۱۵/۰۶۲۳	۳۸/۹	۰/۰۵۷۴	۴۰/۱	۰/۰۰۶۳	۹/۵	۴۰/۳	۳/۸
G44-20R	۷۹۲	۴۳۲۴۹	۰/۹	۱۹/۴۲۱۲	۱۴/۹	۰/۰۴۴۰	۱۶/۰	۰/۰۰۶۲	۵/۸	۳۹/۹	۲/۳
G44-21R	۳۹۱	۸۲۴۶۶	۱/۱	۲۶/۶۸۴۲	۳۳/۱	۰/۰۴۴۵	۳۴/۳	۰/۰۰۸۶	۸/۸	۵۵/۳	۴/۹
G44-22R	۳۴۸	۶۰۲۰۳	۱/۲	۲۳/۶۷۱۹	۳۱/۰	۰/۰۳۵۵	۳۱/۴	۰/۰۰۶۱	۵/۲	۳۹/۱	۲/۰



شکل ۱۰. نمودار کنکوردیا (a) و پلات تعیین سن میانگین (b) نمونه Bd4 از اطلاعات ایزوتوپی U-Pb



شکل ۱۱. نمودار کنکوردیا (a) و پلات تعیین سن میانگین (b) نمونه G44 از اطلاعات ایزوتوپی U-Pb.

جدول ۲. داده های ایزوتوپ Rb-Sr نمونه های مورد مطالعه.

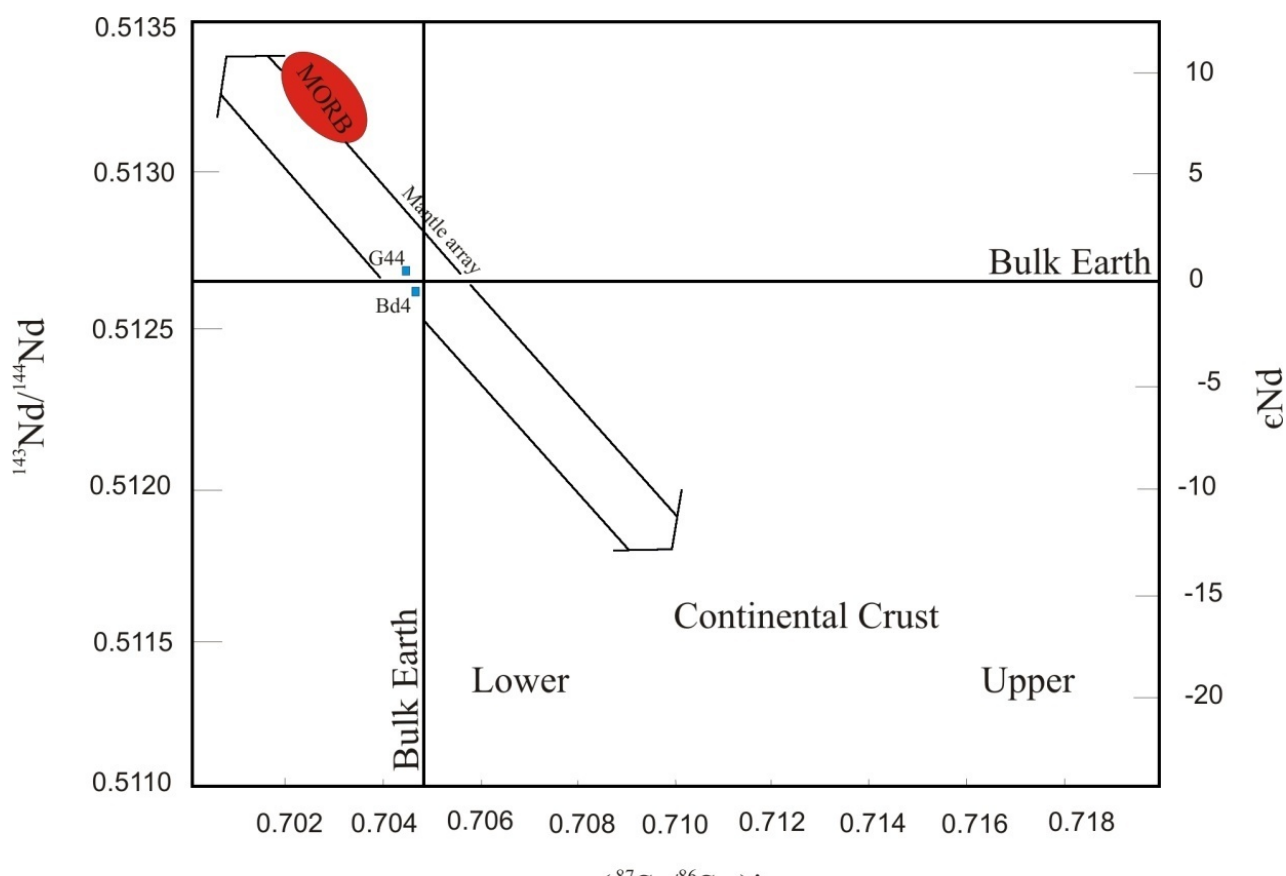
Sample	Rb(ppm)	Sr (ppm)	$^{87}\text{Rb}/^{86}\text{Sr}$	$(^{87}\text{Sr}/^{86}\text{Sr})_m (2\sigma)$	R0(Sr)
Bd4	۹۰/۹۹	۵۳۸	۰/۴۵۵۱	۰/۷۰۵۱۹۱(۱)	۰/۷۰۴۹۲۰
G44	۷۹/۴۷	۷۰۵	۰/۳۰۳۳	۰/۷۰۴۹۹۲(۱)	۰/۷۰۴۸۱۲

m = measured. Errors are reported as 2σ (95% confidence limit). R0(Sr) is the initial ratio of $^{87}\text{Sr}/^{86}\text{Sr}$ for each sample, calculated using $^{87}\text{Rb}/^{86}\text{Sr}$ and $(^{87}\text{Sr}/^{86}\text{Sr})_m$ and an age of 39.7 Ma (Bd4) and 39.6 Ma (G44) (age based on zircon).

جدول ۴. داده های ایزوتوپ Sm-Nd نمونه های مورد مطالعه.

Sample	Sm (ppm)	Nd(ppm)	$^{147}\text{Sm}/^{144}\text{Nd}$	$(^{143}\text{Nd}/^{144}\text{Nd})_m (2\sigma)$	R0(Nd)	$\epsilon\text{Nd I}$	T _{DM}
Bd4	۳/۹۷	۲۰/۸۰	۰/۱۱۵۴۳۸	۰/۵۱۲۶۰۸(۱)	۰/۵۱۲۵۷۹	-۰/۱۸	۰/۶۹
G44	۴/۱۲	۲۰/۸۵	۰/۱۱۹۵۴۹	۰/۵۱۲۶۷۴(۱)	۰/۵۱۲۶۴۴	۱/۰	۰/۶۱

m = measured. Errors are reported as 2σ (95% confidence limit). R0(Nd) is the initial ratio of $^{143}\text{Nd}/^{144}\text{Nd}$ for each sample, calculated using $^{147}\text{Sm}/^{144}\text{Nd}$ and $(^{143}\text{Nd}/^{144}\text{Nd})_m$ and an age of 39.7 Ma (Bd4) and 39.6 Ma (G44) (age based on zircon). ϵNdI = initial ϵNd value.



شکل ۱۲. موقعیت قرارگیری نمونه‌های منطقه در نمودار $^{87}\text{Sr}/^{86}\text{Sr}$ اولیه در مقابل $^{143}\text{Nd}/^{144}\text{Nd}$ و $(^{87}\text{Sr}/^{86}\text{Sr})_i$

عامل سوم آنالیز فاکتوری برای عنصر طلا، مولیبدن و تنگستن با مناطق دارای بیشترین میزان سولفید اولیه و اکسیدهای آهن ثانویه و مناطق واجد آلتراسیون‌های سریسیتی و سیلیسی در منطقه منطبق است.

۳- اکتشاف ژئوشیمیایی در مقیاس ۱:۱۰۰۰۰: طی مطالعات پژوهشی و اکتشافی حاضر و با توجه به شواهد زمین‌شناسی، آلتراسیون و کاهن‌زایی مطالعات ژئوشیمیایی اکتشافی منطقه بر روی نمونه‌های سنگی از مناطق پتانسیل‌دار متتمرکز شده است.

در تجزیه نمونه‌های رسوبات آبراهه‌ای و بررسی آنها، عنصر طلا مقداری بین ۰/۷ تا ۶/۴ میلی‌گرم بر تن دارد که بیشترین مقدار آن بر زون آلتراسیون گوسان-استوکورک در شمال‌غرب مرکز منطقه منطبق است (شکل a-۱۳). عنصر آرسنیک میزان بین ۶/۹ تا ۱۴/۳ گرم بر تن با بیشترین میزان در مرکز منطقه و مقدار عنصر مس از ۲۳/۲ تا ۶۱/۲ گرم بر تن متغیر است (شکل b-۱۳ و شکل a-۱۴). عنصر سرب از

ژئوشیمی مطالعات ژئوشیمیایی قبلی منطقه و نتایج حاصل از آنها به شرح زیر است:

۱- اکتشافات ژئوشیمیایی ناحیه‌ای در گستره برگه ۱:۱۰۰,۰۰۰ مختاران [۲۲]:

طی این مطالعه تعداد ۷۷۹ نمونه رسوب آبراهه‌ای و ۱۰۴ نمونه کانی سنگین برداشت شده که تعداد ۸۳ نمونه رسوب آبراهه‌ای و ۳ نمونه کانی سنگین در گستره منطقه مورد مطالعه قرار دارد. از نتایج این مطالعه معرفی ۲۰ منطقه امید بخش است که آنمالی برازج مربوط به منطقه مورد مطالعه بوده و عنصر Cu,Mo,Sn,Ag,Zn,Pb به عنوان آنمالیهای درجه ۱ و عنصر Au,Sb,As,Hg آنمالی درجه ۲ معرفی شده‌اند.

۲- اکتشاف نیمه تفصیلی در گستره برگه ۱:۲۵۰۰ شیخ آباد [۲۳]:

طی این پژوهش تعداد ۱۶۱ نمونه رسوب آبراهه‌ای و ۴۸ نمونه کانی سنگین از منطقه برداشت شده است. تمایز بالای

منطقه قرار دارد. بیش از ۹۰ درصد نمونه‌ها مقدار مولیبدن کمتر از ۱۰ گرم بر تن است. میزان آنتیموان بین ۱/۰۰ تا ۴ گرم بر تن متغیر است و بیشترین میزان آن بر زون دگرسانی آرژیلیک پیشرفت‌ه در غرب مرکز منطقه قرار دارد. تنها در ۱ نمونه مقدار آنتیموان $29/3$ گرم بر تن است (شکل ۱۵-b).

میزان جیوه بین $۱/۴$ گرم بر تن متغیر است و بیشترین میزان آن بر زون دگرسانی گوسان- استوکورک در شمال غرب مرکز منطقه قرار دارد.

به منظور بررسی و ارتباط عناصر طلا، آرسنیک، آنتیموان و جیوه در منطقه مورد مطالعه، نمودار تغییرات آنها نسبت به یکدیگر ترسیم شده است شکل (۱۶) و همبستگی مطلوبی میان آنها مشاهده می‌شود.

ژئوفیزیک هوابرد

داده‌های ژئوفیزیک هوابرد [۲۴]، در فاصله بهمن ۱۳۸۲ تا آبان ۱۳۸۳ توسط سازمان زمین‌شناسی و اکتشافات معدنی کشور با همکاری شرکت کانادایی Fugro، در منطقه برداشت شده است. به منظور بررسی اصولی و تطابق آنومالی داده‌های ژئوفیزیکی، با بکارگیری نرم‌افزار Geosoft بر روی داده‌های خام نقشه‌هایی در طول و عرض جغرافیایی یکسان و هم مقیاس ($25000:1$)، با نقشه‌های زمین‌شناسی، آلتراسیون و کانه‌زایی، تهیه شد.

مغناطیس‌سننجی

جهت تفسیر اطلاعات مغناطیس، ابتدا نقشه شدت کل میدان (شکل ۱۷-a) تهیه سپس با اعمال فیلترهای برگردان به قطب First vertical (Reduction to pole)، مشتق قائم اول (Upward continuation) و ادامه فراسو (derivative) بررسی قرار گرفت (شکل ۱۷-b-d). فیلتر برگردان به قطب، به عنوان پایه بقیه فیلترها اعمال گردیده است. اعمال این فیلتر با استفاده از زاویه میل (Inclination) و انحراف مغناطیسی (Declination)، IGRF صورت گرفت میزان زاویه میل $۵۲/۳۳$ و میزان انحراف مغناطیسی $۲/۹۱$ محاسبه گردید.

۸/۶ تا ۲۳ گرم بر تن و عنصر روی از ۴۲ تا ۷۳ گرم بر تن متغیر است (شکل ۱۵-a و b).

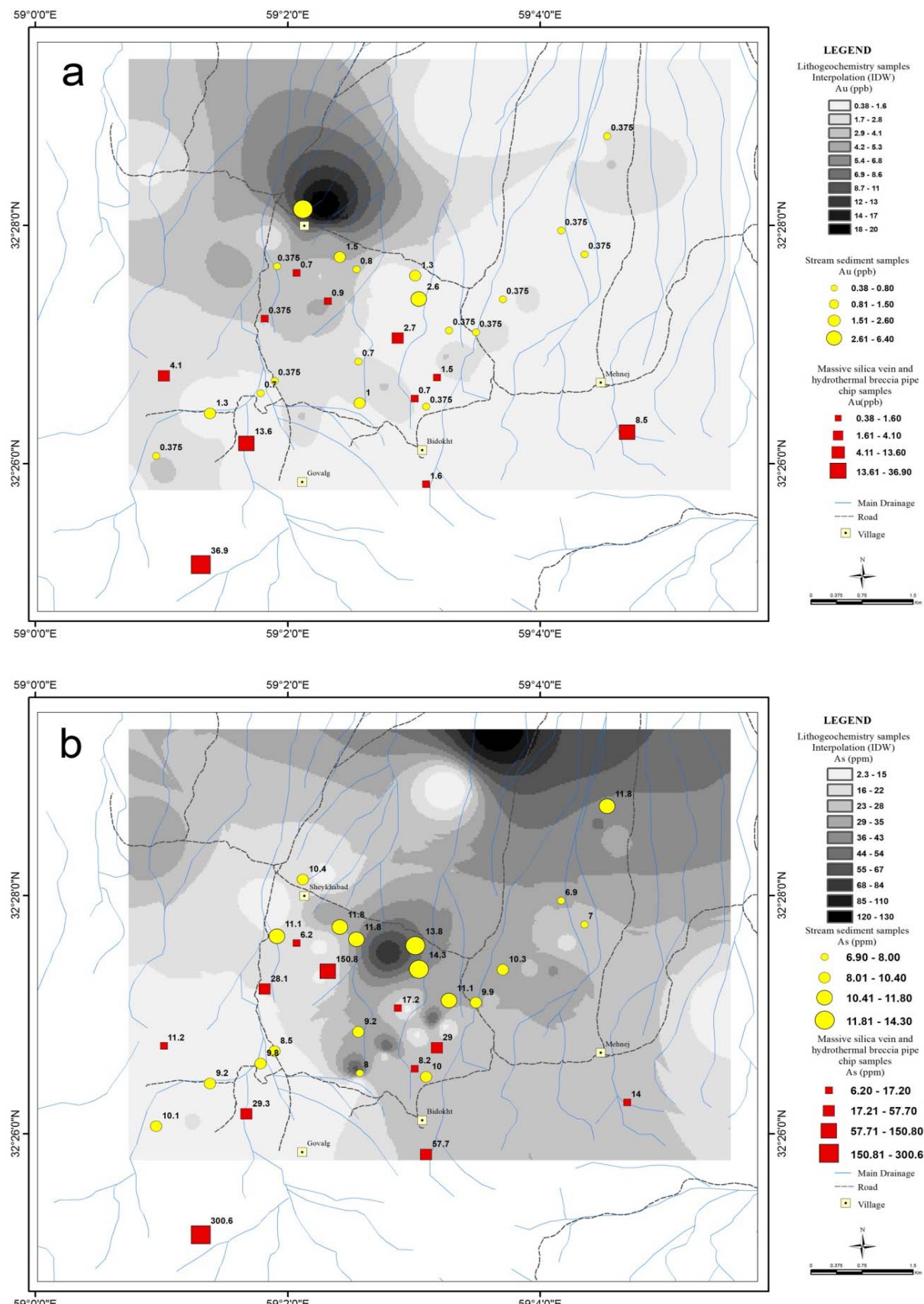
تجزیه نمونه‌های سنگی برداشت شده از واحدهای مختلف برای عنصر طلا مقادیر بین $۳۶/۹$ تا $۰/۵$ میلی‌گرم بر تن است که بیشترین مقدار طلا در زون‌های آلتراسیونی، بر زون آلتراسیون گوسان- استوکورک در شمال غرب مرکز منطقه قرار دارد و بالاترین مقدار طلا در منطقه در بخش غربی زون تنوره‌های برشی هیدروترمالی- نفوذی قرار دارد (شکل ۱۳-a).

میزان آرسنیک بین $۰/۳$ تا $۲/۳$ گرم بر تن است که بیشترین مقدار آرسنیک در زون‌های آلتراسیونی در دو نقطه در شمال و مرکز منطقه و منطبق بر زون توده‌های سیلیسی بی‌قاعده است و بالاترین مقدار آرسنیک در منطقه در بخش غربی زون تنوره‌های برشی هیدروترمالی- نفوذی قرار دارد (شکل ۱۳-b).

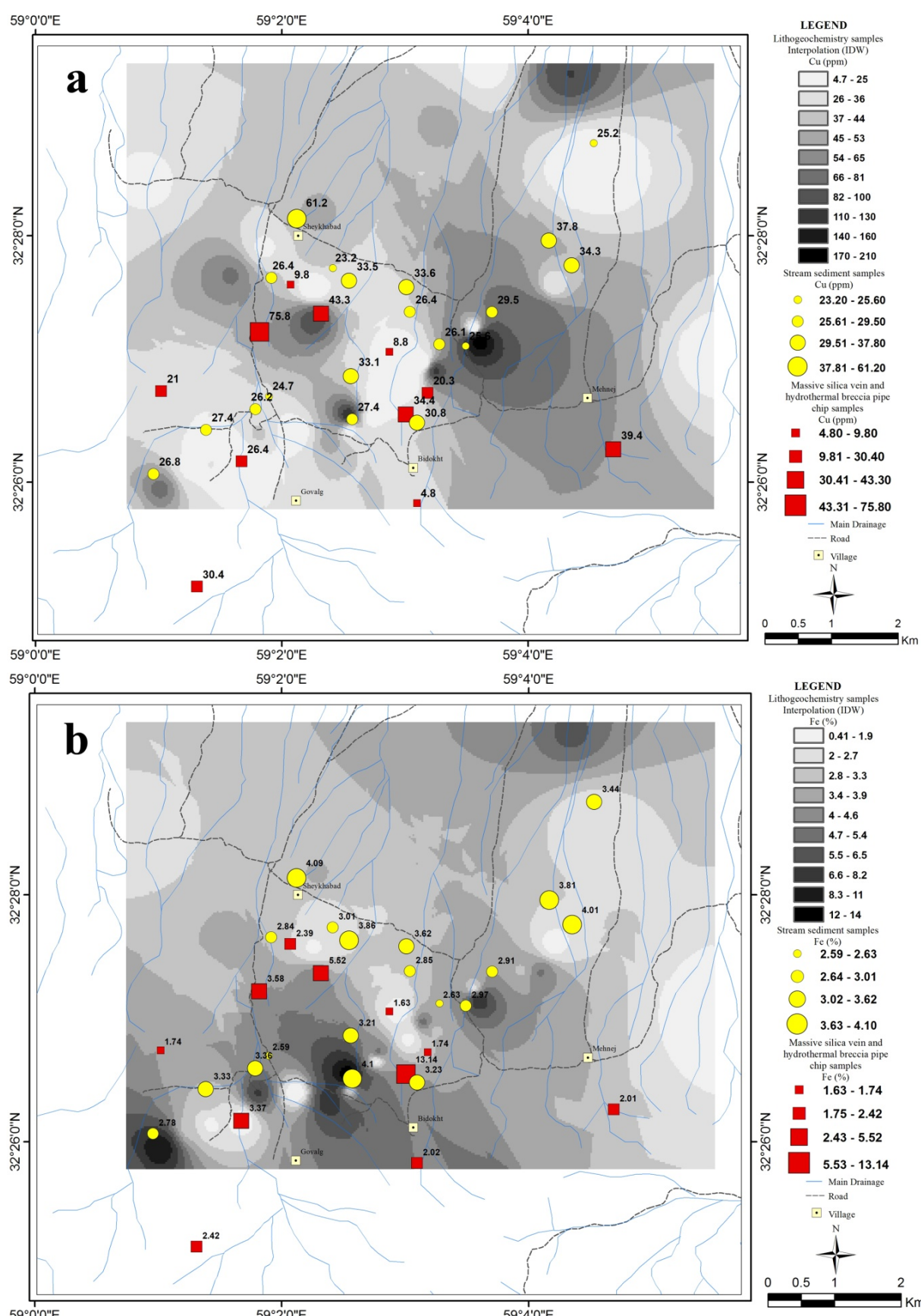
مقدار مس بین $۰/۷$ تا $۲۰/۷$ گرم بر تن است. بیشترین مقدار مس در شرق مرکز منطقه و بر زون دگرسانی گوسان- استوکورک- برش هیدروترمالی واقع است (شکل ۱۴-a). مقدار آهن از $۰/۴۱$ تا $۱۴/۲۵$ درصد و بیشترین مقدار آهن در زون دگرسانی محدود کوارتز- سریسیت- پیریت (لیمونیت) واقع در زون آرژیلیک قرار دارد (شکل ۱۴-b).

میزان سرب بین $۱/۱$ تا $۲۱۹/۳$ گرم بر تن و میزان روی بین ۲ تا ۶۳۸ گرم بر تن متغیر است. بیشترین مقدار سرب و روی بر زون دگرسانی توده‌های سیلیسی بی‌قاعده در جنوب مرکز منطقه واقع است (شکل ۱۵-a و b). میزان گوگرد بین $۰/۰۴$ تا $۴/۷۱$ درصد متغیر است. نقشه فراوانی گوگرد در منطقه ترسیم شده است و بیشترین میزان آن بر زون دگرسانی گوسان- استوکورک در مرکز منطقه قرار دارد.

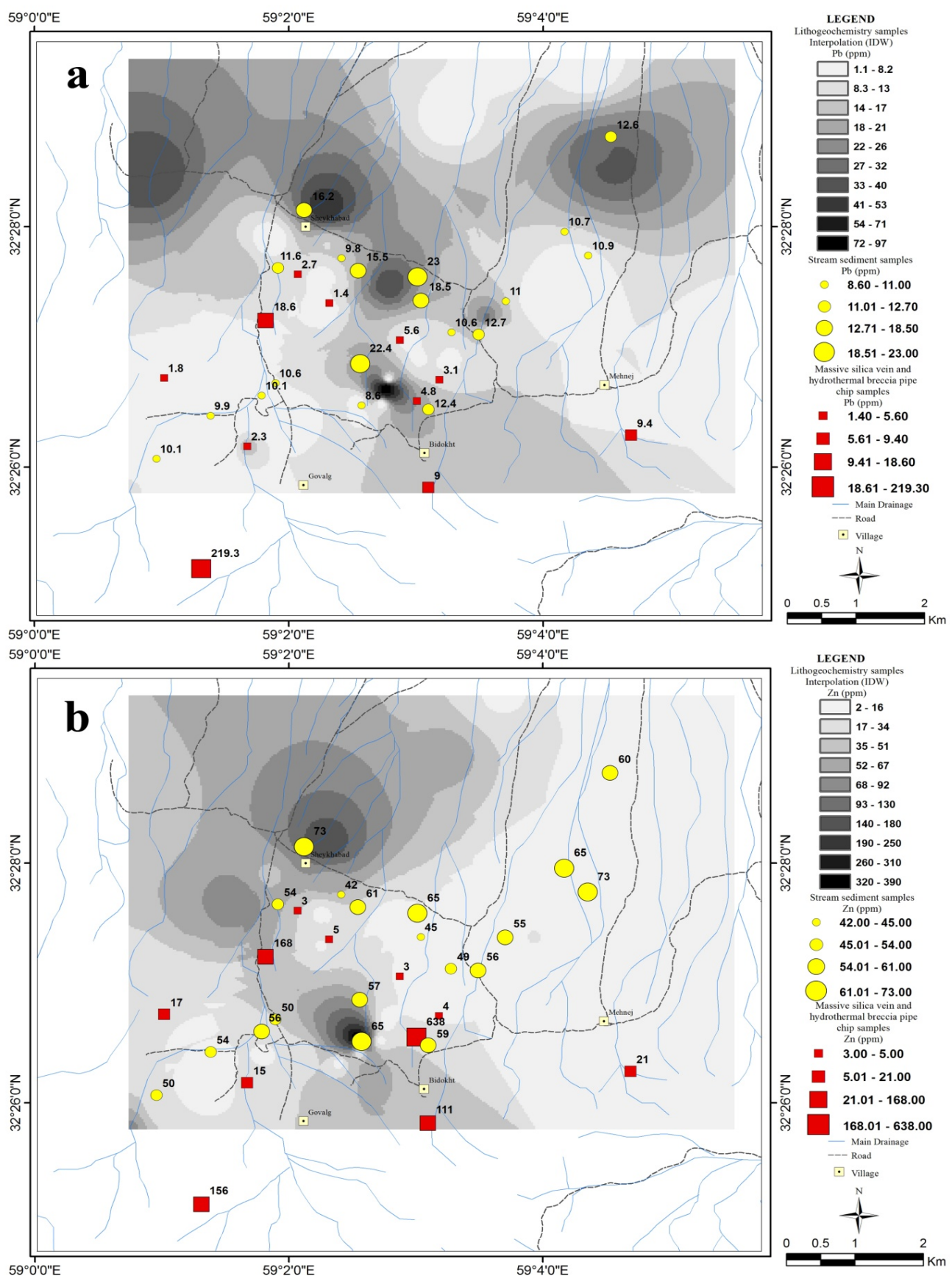
در نمونه‌های سنگی میزان بیسموت بین $۰/۱$ تا $۱۵/۴$ گرم بر تن متغیر است و بیشترین میزان آن بر زون دگرسانی گوسان- استوکورک در شرق مرکز منطقه قرار دارد. تنها در ۲ نمونه مقادیر بیسموت بالاتر از ۱۲ و در بیش از ۹۲ درصد نمونه‌ها مقدار بیسموت کمتر از ۵ گرم بر تن است. میزان مولیبدن بین $۰/۱$ تا $۷۳/۳$ گرم بر تن است و بیشترین میزان آن بر زون دگرسانی توده‌های سیلیسی بی‌قاعده در شمال



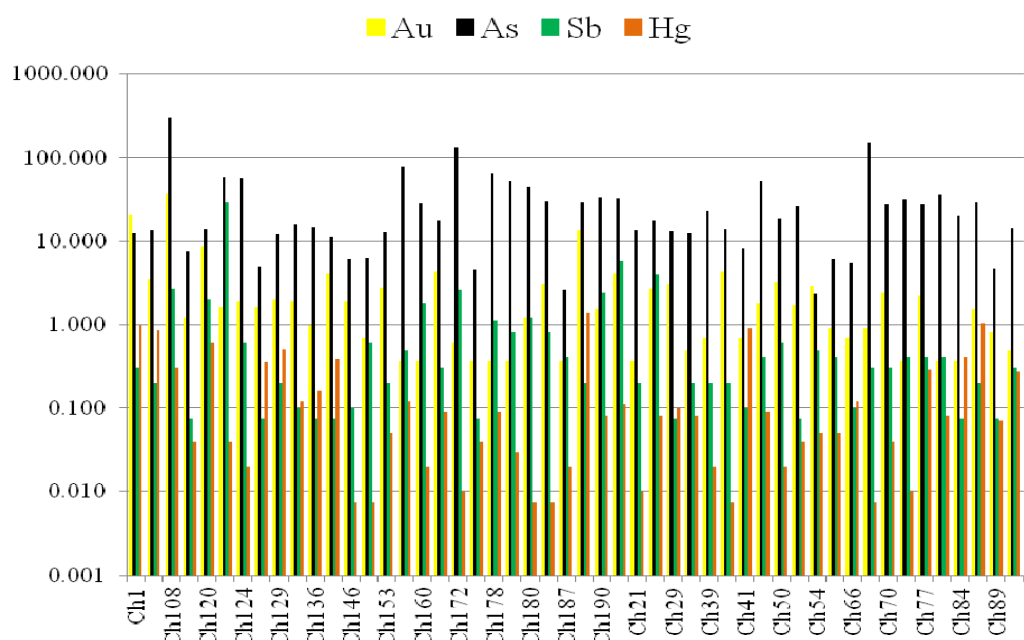
شکل ۱۳. نمودار میزان فراوانی (a) طلا، (b) آرسنیک.



شکل ۱۴. نمودار میزان فراوانی (a) مس و (b) آهن.



شکل ۱۵. نمودار میزان فراوانی (a) سرب و (b) روی.



شکل ۱۶. نمودار تغییرات Au, Sb, As, Hg در نمونه‌های سنگی.

لیتولوژی غالب آن را تشکیل می‌دهد که می‌تواند نمایانگر حضور توده‌های نفوذی نیمه عمق در بخش زیرین آبرفت باشد. به منظور حذف اثرات ناحیه‌ای با طول موج بلند و تداخل بین بی‌亨جارتی‌های مجاور، از فیلتر مشتق قائم اول (First vertical derivative) که در واقع یک فیلتر بالاگذر است استفاده شده است (شکل ۱۷-۳). این فرکانس‌های بالا را نسبت به فرکانس‌های پایین افزایش می‌دهد، در نتیجه طول موجهای بزرگ و اثر بی‌亨جارتی‌های بزرگ بر روی بی‌亨جارتی‌های کوچک که ناشی از منابع عمیق و منطقه‌ای می‌باشند از بین رفته و بی‌亨جارتی‌های کوچک و محلی به خوبی نمایان می‌گردد. در بخش شمال شرق منطقه نیز آنومالی‌های مثبت مغناطیسی، نشانه‌ای از حضور توده‌های نفوذی نیمه عمق در نزدیکی سطح و در زیر آبرفت است. همچنین نمایش روند شرقی- غربی دایک‌های حدواسط در میان واحدهای رسوی در حد جنوبی منطقه که عرض آن متناسب با رخمنون آنها در سطح زمین است. به منظور بررسی بی‌亨جارتی‌های عمیق و برای از بین بردن اثر بی‌亨جارتی‌های کم عمق از فیلتر ادامه فراستو گردید شکل (d-۱۷)، تا اثر اجسام مغناطیسی کوچک و باریک نسبت به اثر اجسام مغناطیسی بزرگتر که به طور عمیقی امتداد زیادی یافته‌اند از بین رود. در این منطقه در نقشه‌های ادامه

نقشه برگردان به قطب شکل (b-۱۷)، واجد آنومالی‌های متعدد مغناطیسی است که در جهت شرقی- غربی تا شمال شرقی- جنوب‌غربی و در امتداد گسلهای اصلی گسترش یافته‌اند. در بخش جنوبی منطقه آنومالی مغناطیسی منفی موجود، بر واحدهای رسوی آواری و ولکانیکی منطبق است. در این میان، دو آنومالی مغناطیسی مثبت با روند شرقی- غربی و افزایش گستره از غرب به شرق، نمایان است که بر دسته دایک‌های حدواسط موازی با یکدیگر منطبق و از پذیرفتاری مغناطیسی بالایی نیز برخوردار است. گستره این آنومالی مغناطیسی، بیش از حد انتظار بود. در بخش بالایی، در تطابق با نقشه زمین‌شناسی، آنومالی‌های مثبت مغناطیسی در مرکز و شمال غربی منطقه، مرتبط با توده‌های نفوذی نیمه عمیق متعدد است که از پذیرفتاری مغناطیسی بسیار بالایی نیز برخوردارند. همچنین دلایل پاسخ مغناطیسی پایین تا متوسط منطبق بر واحدهای نفوذی نیمه عمق و ولکانیک‌ها را می‌توان در تطابق با نقشه آلتراسیون مشاهده نمود. فازهای آلتراسیون هیدروترمالی مخرب مگنتیت شامل سیلیسی، آرژیلیک پیشرفت‌هه و آرژیلیک شدید، در برداشتهای پذیرفتاری مغناطیسی نیز، مقادیر پایینی را از خود نشان می‌دهند. در بخش شمال و شمال شرقی منطقه، آنومالی مغناطیسی مثبت بزرگی مشاهده می‌شود که در زیر آبرفت پوشیده است، اما در برون زدهای کوچک موجود، واحدهای ولکانیک آلتره

پیریت، آرژیلیک و سیلیسی و تداخل با دیگر آلتراسیون‌ها، مشخص هستند. آنومالیهای مثبت مشاهده شده در نقشه توریوم، همرون و منطبق بر واحدهای نفوذی نیمهعمق، دایک‌ها و ولکانیک‌های تازه است و در مناطق آلتره، میزان توریم پایین آمده است. گاه در برخی مناطق گوسان، افزایش توریم به نسبت دیگر زون‌های آلتره رخ داده است که به نظر دیکسون و همکاران [۲۵]، شرایط اسیدشوبی نزدیک به سطح و هوازدگی سولفیدها، می‌تواند منجر به تحرک توریم از سنگ میزان و تمرکز آن به همراه آهن در زون گوسان گردد. در نقشه اورانیوم، در نیمه شمالی منطقه، گستره وسیعی از آنومالی مثبت در انطباق با واحدهای نفوذی نیمهعمق و ولکانیکی مشاهده می‌شود که در مناطق آلتره از میزان آن کاسته می‌شود.

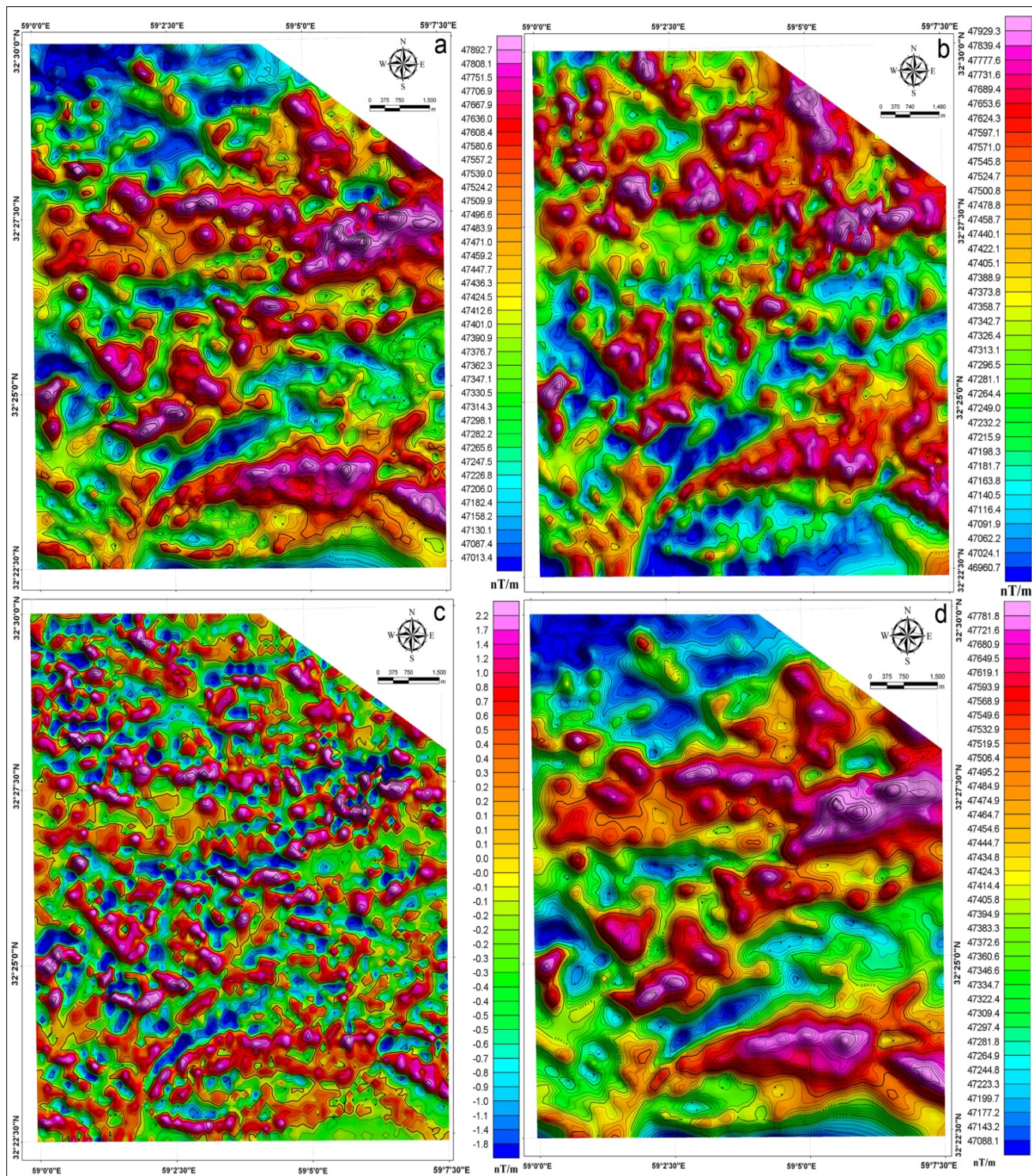
الکترومغناطیس

داده‌های الکترومغناطیس هوایی با فرکانس ۸۷۵ هرتز برداشت شده است. بخش جنوبی منطبق بر واحدهای رسوبی و ولکانیکی فاقد عوامل رساناست (شکل ۱-۱۸). اما گستره وسیعی از نیمه شمالی، به‌جز در واحدهای ولکانیکی و رسوبی و همچنین زون‌های آلتراسیون سیلیسی و پروپلیتیک (که مقاومت الکتریکی بالا دارند)، با پاسخ مقاومت‌سنگی پایین بر بخش‌های سولفید پراکنده و یا اکسیدآهن حاصل از سولفید اکسیده در سطح، منطبق است. گاه به‌علل مختلفی از جمله کوچکتر بودن زون سولفیدی (زیر ۲۰۰ متر) به نسبت به خطوط پرواز، نزدیکی و مجاورت با زون آلتراسیون سیلیسی و تأثیر هوازدگی، آنومالی الکترومغناطیسی نمایان نمی‌باشد. پاسخ مقاومت‌سنگی پایین در بخش شمال‌شرقی منطقه، می‌تواند ناشی از حضور آب بین منفذی در آبرفتها باشد. همان گونه که گفته شد، در این منطقه نفوذهای متعددی صورت گرفته که پیش از کانی‌سازی، مرتبط با کانی‌سازی و یا پس از کانی‌سازی در منطقه نفوذ کردند. تعداد این توده‌ها، سبب تداخل زون‌های آلتراسیون بر روی یکدیگر شده و همین امر سبب شده تا الگوی بیضوی مشخصه آلتراسیون سیستم پورفیری [۲۶] به‌خوبی نمایان نباشد و الگوی مشاهده شده، شامل تداخل بیضوی‌های متعدد با کشیدگی جنوب‌غرب. شمال‌شرق است که هم روند با نفوذیهای نیمهعمق در امتداد گسلهای اصلی منطقه است.

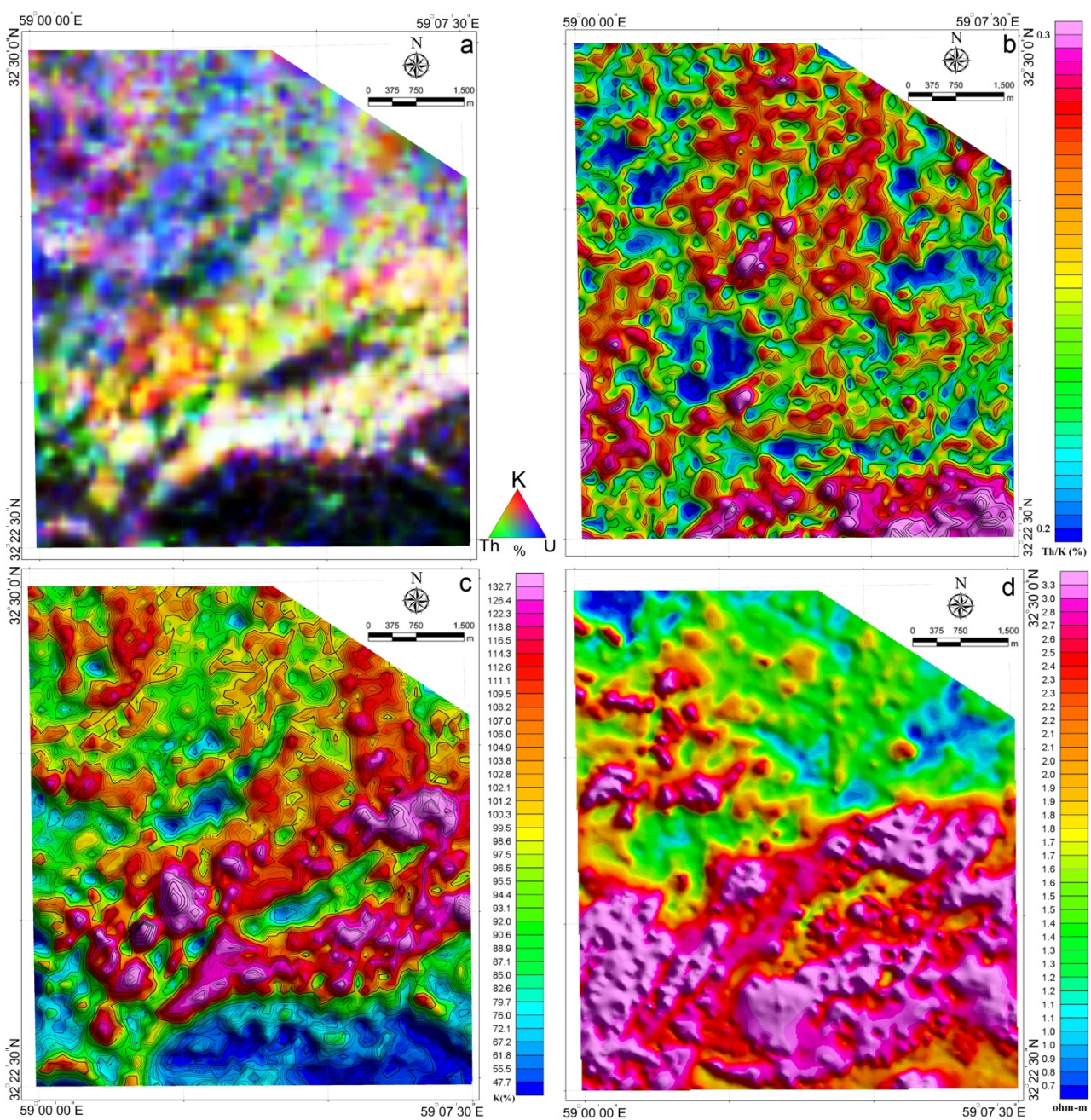
فراسو، توده‌های نفوذی نیمهعمق در اعماق به یکدیگر پیوسته‌اند که به صورت یک گستره مشخص‌تر و عمیق‌تر در سمت شمال‌شرقی در زیر دشت و دو دنباله موادی در مرکز و به‌سیوی غرب است. همچنین روند مشخص دیگر در جنوب منطقه قرار دارد که از جنوب‌شرقی به سمت غرب تا مرکز منطقه، با اندکی تحدب به سوی شمال کشیده شده است و بر ادامه ریشه دایک‌های حدواسط انطباق دارد.

رادیومتری

پاسخ رادیومتری از منطقه کوهشاه در قالب ۵ نقشه پتابسیم، اورانیم، توریم، سه‌گانه (پتابسیم، اورانیم و توریم) و نسبت توریم/پتابسیم، قابل بررسی است. در نقشه سه‌گانه $K-Th-U$ شکل (۱-۱۸-a)، مناطق سفیدرنگ، پاسخ رادیومتری بالا، از هر سه عنصر را در بر دارند (منطبق بر واحدهای نفوذی نیمهعمق تازه و ولکانیک). برای تمیز پاسخ رادیومتری پتابسیم به‌جهت آلتراسیون پتابسیک از لیتولوژی پتابسیم‌دار، نقشه نسبت Th/K ترسیم گردید شکل (۱-۱۸-b). چنانچه این نسبت بالا باشد، مرتبط با لیتولوژی‌های پتابسیم‌دار و اگر این نسبت پایین باشد، نشانگر آلتراسیون پتابسیم‌دار است. نقشه پتابسیم شکل (۱-۱۸-c)، آنومالیهای مثبتی را بر روی لیتولوژی‌های پتابسیم‌دار از جمله واحدهای نفوذی نیمهعمق و ولکانیک‌ها و در مناطق آلتره پتابسیم‌دار، از جمله آلتراسیون آرژیلیک و احتمالاً آلتراسیون پتابسیک نزدیک به سطح، نشان می‌دهد. زون آلتراسیون پتابسیم‌دار می‌تواند مرتبط با آلتراسیون پتابسیک و یا کانیهای رسی پتابسیم‌دار، در آلتراسیون آرژیلیک باشد. هاو و کرول [۲۶]، معتقدند که اگر پاسخ رادیومتری آنومالی مثبت پتابسیم، منطبق بر آنومالی مغناطیسی بالا تا متوسط در درون یک هاله آنومالی مغناطیسی پایین تقریباً دور باشد، شاهدی بر حضور آلتراسیون پتابسیک است. در صورتی که پاسخ مغناطیسی زون آرژیلیک پایین است. مطابق نقشه، لیتولوژی‌های پتابسیم‌دار با آنومالی مثبت و منطبق بر توده‌های نفوذی نیمهعمق پتابسیم بالا تا شوشونیتی، مشخص می‌باشند. در بخش آلتره، در سه محدوده، آنومالی منفی Th/K ، آنومالی مثبت پتابسیم و آنومالی بالای مگنتیت، مشاهده می‌شود که در حاشیه به‌تدريج آنومالی‌ها تغییر می‌نمایند. اين آنومالیها بيشتر حالت بیضوی تا نیمه‌دور دارند و در حاشیه با آلتراسیون‌های کوارتز-سرسیت-



شکل ۱۷. نقشه‌های شدت کل میدان مغناطیسی (a)، برگردان به قطب (b)، مشتق قائم (c)، ادامه فراسو ۱۰۰ متر (d).



شکل ۱۸. نقشه‌های رادیومتری سه‌گانه (a) K-Th-U، (b) Th/K و مقاومت‌سنگی (d).

پیشرفت، گوسان، برش هیدروترمالی، سیلیسی و همچنین دگرسانی رگه‌های موازی کوارتز-کلسیت- لیمونیت (پیریت) صفحه‌ای و رگه‌چهای تأخیری کلسیت- اکسید‌آهن و در نهایت تنوره‌های برشی هیدروترمال- نفوذی است. کانی‌سازی سولفیدی و اکسیدهای آهن، به اشکال پراکنده در متن سنگ، رگه‌چهای، استوکورک لیمونیت- ژاروسیت، برش هیدروترمالی، رگه‌های موازی کوارتز-کلسیت- لیمونیت (پیریت) صفحه‌ای و تنوره‌های برشی هیدروترمال- نفوذی

نتیجه‌گیری

کانی‌سازی در منطقه کوهشاه، در جایگاه تکتونیکی مناسب (حاشیه بلوك لوت) و مرتبط با گسترهای از نفوذهای متعدد و تلسکوپی توده‌های نیمه‌عمیق حدواسط و دگرسانیهای مرتبط با آنها شکل گرفته است. دگرسانی در این منطقه گسترهای در حدود بیش از ۸۰ کیلومتر مربع را (حتی در زیر آبرفت) می‌پوشاند و شامل زون‌های دگرسانی کوارتز- سرسیت- پیریت (لیمونیت)، پروپلیتیک، آرژیلیک، سیلیسی- آرژیلیک

پایین Y و Yb و مقادیر بالای نسبت Y/Sr و La/Yb می‌تواند ناشی از باقی ماندن Y و HREE در گارنت باقی مانده یا تفريقي گارنت و هورنبلند باشد. آنومالی منفی Nb نشانه مهمی از ماقماتیسم مرتب با جزایر قوسی است که می‌تواند مرتب با نوع گارنتی باشد که تحت تأثیر ذوب بخشی قرار می‌گیرد. نمودارهای تفکیک محیط‌های تکتونیکی نشان می‌دهد که سنگهای گرانیت‌وئیدی کوهشاد گرایش به ماقماتیسم کمانی داشته و در خاستگاه جزایر قوسی اولیه/کمان حاشیه قاره تشکیل شده‌اند. به این ترتیب توده‌های نفوذی منطقه کوهشاد نتیجه ماقماتیسم مرتب با فروزانش کالک آلکالن محیط جزایر قوسی هستند که حاصل فروزانش زیر بلوك لوت در زمان ترشیری هستند. سن‌سننجی سنگهای گرانیت‌وئیدی منطقه کوهشاد نشان می‌دهد که این توده‌ها در آносن میانی (پریابونین-بارتونین) تشکیل شده‌اند. نسبت $^{87}\text{Sr}/^{86}\text{Sr}$ اولیه و $^{143}\text{Nd}/^{144}\text{Nd}$ اولیه به ترتیب از ۰/۷۰۴۸۱۲ تا ۰/۷۰۴۹۲۰ و ۰/۵۱۲۵۷۹ تا ۰/۵۱۲۶۴۴ است. میزان Nd اولیه برای توده‌های گرانیت‌وئیدی کوهشاد از $^{87}\text{Sr}/^{86}\text{Sr}$ اولیه -۰/۱۸ تا ۰/۱۰ است. با توجه به این که میزان Sr اولیه کمتر از ۰/۷۰۶ است منشأ ماقما خارج از پوسته قاره‌ای بوده و از گوشته تهی شده منشأ گرفته است. سن سنگ منشأ ماقماتیسم منطقه کوهشاد ۶۱۰ تا ۶۹۰ میلیون سال گزارش شده است. آنومالیهای ژئوشیمیایی برای عناصر مس، طلا، آهن، سرب، روی، آرسنیک، آنتیموان، مولیبدن، بیسموت و جیوه و عناصر دیگر (Mn, Ba, Te, Se) منطبق بر زون‌های آلتراسیونی کوارتز-سرسیت-پیریت-گوسان-استوکورک-برش هیدروترمالی، توده‌های سیلیسی بی‌قاعده و آرژیلیک پیشرفتی هستند. البته با توجه به این که سولفیدها طی فرآیند اکسیداسیون در سطح زمین، اکسید شده‌اند، میزان فراوانی اکسیداسیون در سیستمهای پورفیری همراه با طلا و مس متوجه بیسموت در سیستمهای پورفیری باشد. این جا که می‌شود بنابراین بر اساس میزان فراوانی بیسموت می‌توان نتیجه گرفت که سیستم به لحاظ سطح فرسایشی در افق فوقانی قرار دارد. معمولاً آنومالی مولیبدن همراه با مس و بیسموت در مرکز سیستم بیشترین تمرکز را دارد. از آن جا که میزان کمی مولیبدن در زون اکسیدان شسته می‌شود می‌توان نتیجه گرفت که سطح فعلی افق می‌تواند سطح بالایی یک سیستم پورفیری باشد. عناصر طلا، آرسنیک، آنتیموان و جیوه

مشاهده می‌شود. حضور و گسترش و شدت میزان اکسیدهای آهن پراکنده (تا ۱۰ درصد در زون‌های گوسان) و رگه‌چهای متعدد کوارتز-اکسیدآهن (لیمونیت-ژاروسیت \pm گوتیت) و لیمونیت \pm کلسیت \pm کوارتز با تراکم رگه‌چه تا ۴۰ عدد در ۱ متر، حاکی از قرارگیری زون‌های سولفیدی با عیار بالا در معرض هوازدگی و اسیدشویی باشد. زون‌بندی‌های آلتراسیون از نظر تنوع، گسترش و شکل و خصوصیات کانی‌سازی در این منطقه، مشابه با سیستم‌های مس-طلا پورفیری و اپیترمال با سولفیداسیون بالاست [۲۸-۲۹]. علی‌رغم زون‌های محدود آلونیت شناسایی شده، گستره زیاد آلتراسیون آرژیلیک با شدت بالا، توده‌ها و رگه‌های سیلیسی و کانی‌سازی گستردۀ اکسیدآهن به صورت دانه‌پراکنده و رگه‌چهای استوکورک کوارتز-اکسیدآهن به همراه زون‌های محدود کوارتز-سرسیت-پیریت، آرژیلیک پیشرفتی و برش هیدروترمالی، و کانی‌سازی محدود رگه‌چهای سولفیدی مشخص می‌سازد که سطح فرسایش فعلی بخش بالایی یک سیستم پورفیری (قاعده لیتوکپ) را در معرض نمایش می‌گذارد و در بخش پایینی یک سیستم اپیترمال با سولفیداسیون بالا قرار دارد. حضور رگه‌های موادی کوارتز-کلسیت-لیمونیت (پیریت) صفحه‌ای در بخش‌هایی از زون دگرسانی پروپلیتیک با شدت متوسط با فاصله (بیش از ۲/۵ کیلومتر) از منطقه اصلی دگرسانی (به‌خصوص دگرسانی کوارتز-سرسیت-پیریت) می‌تواند نشانگر کانی‌سازی در سیستم دیگری (مشابه با اپیترمال با سولفید پایین) در این بخش باشد. همچنین توره‌های برشی هیدروترمال-نفوذی حاوی کانی‌سازی پیریت-لیمونیت \pm مالاکیت \pm کولولیت \pm بورنیت \pm کالکوپیریت در بخش جنوبی آلتراسیون‌های اصلی، نشانه‌ای از کانی‌سازی توره‌ای و حضور فعال مس در منطقه می‌باشد. مقادیر نسبتاً پایین Zr, Y, Nb نشان می‌دهد که سنگهای گرانیت‌وئیدی منطقه کوهشاد گرانیت‌وئیدهای سری I هستند که در یک محیط کمانی شکل گرفته‌اند. بر اساس کانی‌شناسی و مقادیر بالای پذیرفتاری معنایطی‌سی واحدهای نفوذی منطقه در طبقه گرانیت‌وئیدهای اکسیدان سری مگنتیت طبقه‌بندی می‌شوند. این واحدها همچنین متالومینوس بوده و از نظر سری ماقمایی روند کالک‌آلکالن با گرایش شوшуونیتی دارند. الگوی نمودار عنکبوتی این توده‌ها شبیه به سنگهای نفوذی جزایر قوسی است با آنومالی منفی HFSE و آنومالی مثبت LILE. مقادیر

ژاپن‌وئید، برش هیدرولترمالی و گوسان، آثار کانی‌سازی سولفیدی. اکسیدآهن پراکنده و رگه‌چهای، آنومالیهای ژئوشیمیایی طلا، آرسنیک، مس، آنتیموان، جیوه و غیره و آنومالیهای ژئوفیزیکی منطبق بر زون‌های آلتراسیونی و کانی‌سازی، می‌تواند مستنداتی در ارتباط با کانی‌سازی پورفیری مس- طلا و اپی‌ترمال طلا در این منطقه باشد.

تشکر و قدردانی

از معاونت زمین‌شناسی و مدیریت زمین‌شناسی منطقه‌ای سازمان زمین‌شناسی و اکتشافات معدنی کشور بهدلیل همراهی و حمایتهای بی‌دریغ ایشان سپاس‌گزاری می‌شود.

منابع

- [1] Eftekhar-Nezhad J., "Birjand 1:250000 geological quadrangle map", Geological Survey of Iran (1990).
- [2] Eftekhar-Nezhad J., Stocklin J., Movahed-e-Aval H., Emami M.H., "Mokhtaran Geological Map, scale 1:100000, Sheet 7854", Geological Survey of Iran (1978).
- [۳] آقانباتی ع.، "زمین‌شناسی ایران"، سازمان زمین‌شناسی و اکتشافات معدنی کشور، (۱۳۸۳) ۵۸۶ ص.
- [۴] کریم‌پور م. ح، ملک‌زاده شفارودی آ، مظاہری س. ا، حیدریان م. ر، "ماگماتیزم و انواع کانی‌سازی مس، طلا، قلع و تنگستن در بلوك لوت"، پانزدهمین همایش انجمن بلورشناسی و کانی‌شناسی ایران، دانشگاه فردوسی مشهد، (۱۳۸۶).
- [5] Adams S. S., "Using Geological Information to Develop Exploration Strategies For Epithermal Deposits", Reviews in Economic Geology, 2 (1985) 273-298.
- [6] Sillitoe R. H., "Epithermal models: Genetic types, geometrical controls and shallow features", Geological Association of Canada, Special Paper, 40 (1993) 403-417.
- [7] Sillitoe R. H., "Exploration of porphyry copper lithocaps", In: Mauk J. L., St George J.D., (eds) Proc Pacrim Congress 95, Auckland 1995, Australas Inst Mining Metall Publ Ser 9/95 (1995) 527-532.
- [8] Sillitoe R. H., Steele G. B., Thompson J. F. H., Lang J. R., "Advanced argillic lithocaps in the Bolivian tin-silver belt", Mineralium Deposita, 33 (1998) 539-546.

در منطقه مورد مطالعه، همبستگی مطلوبی دارند. این عناصر در زون خارجی (عناصر فوق کانساری) زون‌بندی ژئوشیمیایی سیستم مس- طلای پورفیری حائز اهمیت هستند. داده‌های ژئوفیزیکی، شامل آنومالیهای مغناطیسی (RTP)، رادیومتری (Th, U, K, ternary, Th/K)، و الکترومغناطیس (RS)، منطبق بر زون‌های آلتراسیون هیدرولترمالی و کانی‌سازی است که به علت نفوذهای متعدد، همپوشی زون‌های آلتراسیونی و هوازدگی سوپرژن و همچنین افق فرسایشی موجود، الگویی پیچیده از مناطقی نیمه‌دور تا بیضوی در جهت شمال‌شرق- جنوب‌غرب را در منطقه، مشخص می‌سازد که پاسخی مشابه با مناطق دیگر شناسایی شده در ایران و جهان [۲۷] از جمله پورفیری سرچشمه [۳۱-۳۰] پورفیری دره‌زار [۳۲]، پورفیری توپیندا، در گینه نو [۲۶] است. نهشتلهای پورفیری و اپی‌ترمال می‌توانند در نواحی وسیعی تشکیل شوند که توده معدنی از نظر شکل، اندازه، عیار و جایگاه، به آسانی در زیر پوشش سطحی از آلتراسیون رسی یا مجموعه‌های ولکانیکی غیر آتربه [۳۳]، پنهان می‌شوند [۳۴]. برای اکتشاف موثر در این تیپ کانی‌سازی، تلفیق کلیه داده‌های زمین‌شناسی، ژئوشیمیایی و ژئوفیزیکی از مقیاس ناحیه‌ای تا معدنی، مورد نیاز است [۵]. موقعیت و جایگاه تکتونوماگمایی و کانی‌سازیهای مختلف در بلوك لوت، به ویژه در حاشیه‌های این بلوك و در ارتباط با تکتونیک زون فرورانش، اهمیت توجه به اکتشاف برای کانسارهای تیپ مس- طلا پورفیری و طلای اپی‌ترمال را روشن می‌سازد. قرارگیری منطقه کوهشاه در حاشیه بلوك لوت و حضور کانسارهای پورفیری (ماهرآباد و خوپیک) در مجاورت این منطقه و همچنین گستره سنگهای ولکانیکی و نفوذیهای نیمه‌عمیق متعدد با نفوذهای تلسکوپی، ویژگیهای پترولوزیکی سنگهای گرانیتوئیدی (سری مگنتیت، تیپ I، متالومینوس، ماهیت کالک‌آلکالن با گرایش شوشوئنیتی)، ماگماتیسم با خاستگاه جزایر قوسی اولیه/ کمان حاشیه قاره، مشابهت سنی توده‌های نیمه‌عمیق (سن اؤسن میانی) با توده‌های نفوذی منطقه ماهرآباد و خوپیک (اؤسن بالایی)، منشأ گرفته از گوشته تهی شده، کنترل ساختارهای امتدادلغز و مورب‌لغز، زون‌های گستره آلتراسیون آرژیلیک، سیلیسی، آرژیلیک پیشرفت‌ه و پروپلیتیک و زون‌های دگرسانی محدود اما پر اهمیت کوارتنز- سرسیت- پیریت، کوارتز حفره‌دار- آلونیت-

- Loszewski and W. Huff (Eds.)", Paleontology Society, Short Course, 12 (2006) 67–76.*
- [۲۲] سازمان زمین‌شناسی کشور، "گزارش اکتشافات رئوژیمیایی سیستماتیک در برگه ۱/۱۰۰۰۰ مختاران"، وزارت صنایع و معدن، (۱۳۷۹).
- [۲۳] سازمان زمین‌شناسی کشور، "گزارش اکتشافات رئوژیمیایی نیمه‌تفصیلی محدوده آنومالی شیخ‌آباد"، وزارت صنایع و معدن، (۱۳۸۲).
- [۲۴] سازمان زمین‌شناسی و اکتشافات معدنی کشور، "پروژه رئوفیزیک هوائی بیرجند- خوسف (استان خراسان جنوبی)", وزارت صنایع و معدن، (۱۳۸۳).
- [۲۵] Dickson B. L., Fraser S. L., Kinsey-Henderson A., *'Interpreting aerial gamma-ray surveys utilizing geomorphological and weathering models"*, Journal of Geochemical Exploration, 57 (1996) 75-88.
- [۲۶] Howe B., Kroll A., *"The Geophysical Response of the Tupinda Cu-Au-Mo Porphyry Prospect, Tabar Islands, Papua New Guinea"*, ASEG, Sydney, Australia (2010).
- [۲۷] Sillitoe R., *"Gold-Rich Porphyry Deposits: Descriptive and Genetic Models and Their Role in Exploration and Discovery"*, SEG Reviews, 13 (2000) 315-345.
- [۲۸] Sillitoe R. H., Hedenquist J. W., *"Linkages between volcano-tectonic settings, ore-fluid compositions, and epithermal preciousmetal deposits"*, In Simmons S. F., Graham I. (eds), Volcanic, Geothermal, and ore-forming fluids: Rulers and witnesses of processes deep within the earth, Giggenbach memorial volume. Soc. Econ. Geol. Geochem. Soc. Sp.Pub. 10 (2003) 315-343.
- [۲۹] Sillitoe R., *"Gold-Rich Porphyry Deposits: Descriptive and Genetic Models and Their Role in Exploration and Discovery"*, SEG Reviews, 13 (2000) 315-345.
- [۳۰] Ranjbar H., Shahriari H., Honarmand M., *"Integration of Aster and airborne geophysical data of copper mineralization. A case study of Sar Ccheshmeh area"*, International society for photogrammetry and remote sensing, Turkey, (2004).
- [۳۱] Ranjbar H., Honarmand M., *"Integration and analysis of airborne geophysical and ETM+ data for exploration of porphyry type deposits in the central Iranian volcanic belt using fuzzy classification"*, International Journal of Remote Sensing 25 (2004) 4729-4741.

- [۹] Middlemost E. A. K., *"Magmas and magmatic rocks"*, Longman, London & New York (1985) 266.
- [۱۰] Rickwood P. C., *"Boundary lines within petrologic diagrams which use oxides of major and minor elements"*, Lithos 22 (1989) 247–267.
- [۱۱] Irvine T. N., Baragar W. R. A., *"A guide to the chemical classification of the common volcanic rocks"*, Canadian Journal of Earth Sciences 8 (1971) 523–548.
- [۱۲] Whalen J. B., Currie K. L., Chappell B. W., *"A-type granites: geochemical characteristics, discrimination and petrogenesis"*, Contributions to Mineralogy and Petrology 95 (1987) 407–419.
- [۱۳] Shand S. J., *"Eruptive rocks; Their genesis, composition, classification and their relation to ore-deposits"*, Hafner Publishing Co., New York (1947) 488.
- [۱۴] Pearce J. A., Harris N. B. W., Tindle A. G., *"Trace element discrimination diagrams for the tectonic interpretation of granitic rocks"*, Journal of Petrology 25 (1984) 956-983.
- [۱۵] Condie K. C., *"Geochemical changes in basalts and andesites across the Archean-Proterozoic boundary: identification and significance"*, Lithos 23 (1989) 1–18.
- [۱۶] Brown G. C., Thorpe R. S., Webb P. C., *"The geochemical characteristics of granitoids in contrasting arcs and comments on magma sources"*, Journal of Geological Society of London 141 (1984) 413–426.
- [۱۷] Martin H., *"The Archaean grey gneisses and the genesis of the continental crust. In: Condie K.C. (Ed.), The Archaean Crustal Evolution"*, Elsevier, Amsterdam (1993).
- [۱۸] Pearce J. A., *"Role of sub-continental lithosphere in magma genesis at active continental margins. In: Continental Basalts and Mantle Xenoliths—Hawkesworth C. J., Norry M. J., eds"*, Nantwich, UK: Shiva. (1983).
- [۱۹] Boynton W. V., *"Cosmochemistry of the rare earth elements: meteorite studies. In: Henderson P. (Ed.), Rare Earth Element Geochemistry"*, Elsevier Sci Publ. Co., Amsterdam (1984).
- [۲۰] Karimpour M. H., Stern C. R., Farmer L., Saadat S., Malekezadeh A. *"Review of age, Rb-Sr geochemistry and petrogenesis of Jurassic to Quaternary igneous rocks in Lut Block, Eastern Iran"*, Geopersia, University of Tehran, Iran 1(2011) 19-36.
- [۲۱] Gehrels G. E., Valencia V., *"A Pullen in geochronology: emerging opportunities. In: T.*

-
- [33] Sillitoe R. H., Bonham H. F., "Volcanic Landforms and Ore Deposit", Economic Geology, 79 (1984) 1286-1298.
- [34] Simmons S. F., White N. C., John D., "Geological Characteristics of Epithermal Precious and Base Metal Deposits", Society of Economic Geologists, Inc., Economic Geology 100th Anniversary (2005).
- [32] Ranjbar H., Hassanzadeh H., Torabi M., Ilaghi O., "Integration and analysis of airborne geophysical data of the Darrehzar area, Kerman Province, Iran, using principal component analysis", Journal of applied geophysics 48 (2001) 33-41.